SE 1 : Systèmes électroniques Electronique analogique linéaire et non linéaire

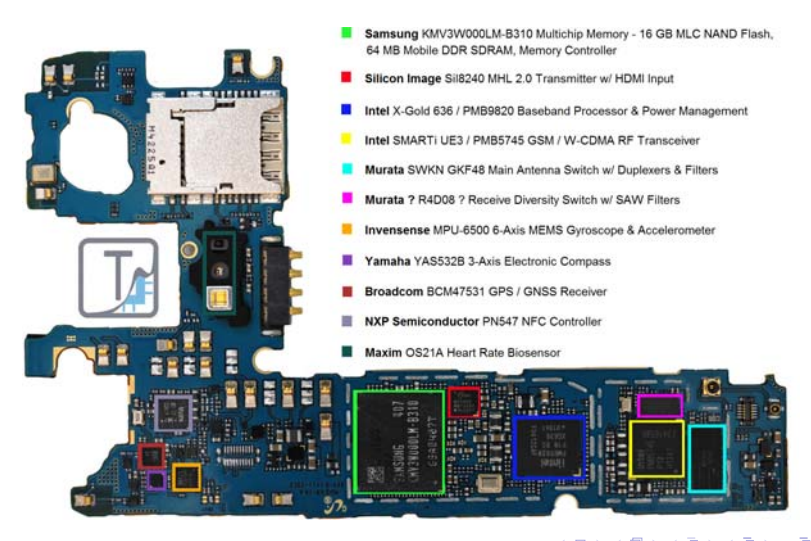
Valentin Gies

IUT de Toulon - département GEII Université de Toulon (UTLN) Electronique linéaire en représentation temporelle Electronique linéaire en représentation fréquentielle Electronique non linéaire

Électronique et électrotechnique

Domaines d'applications et métiers

Domaines d'application : électronique grand public



Domaines d'application : électronique grand public



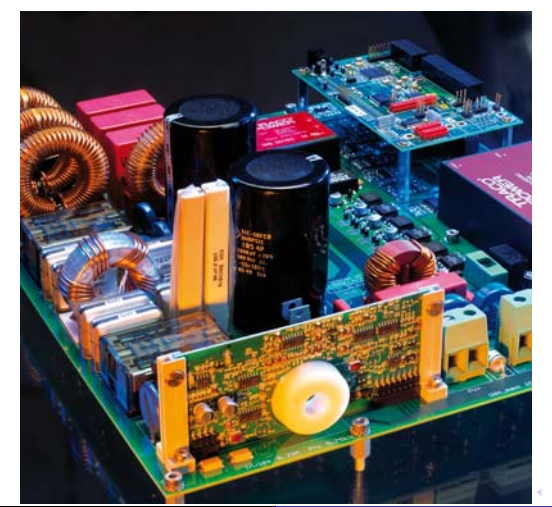
fig: Pepper (Aldebaran Robotics)

Domaines d'application : électronique grand public

Enjeux:

- Intégration multi-sensor et multi-processeurs. Systèmes distribués.
- Low power.
- Communications radio.
- Mécatronique : fusion entre électronique et mécanique

Domaines d'application : électronique de puissance - conversion d'énergie



Domaines d'application : électronique de puissance - production d'énergie



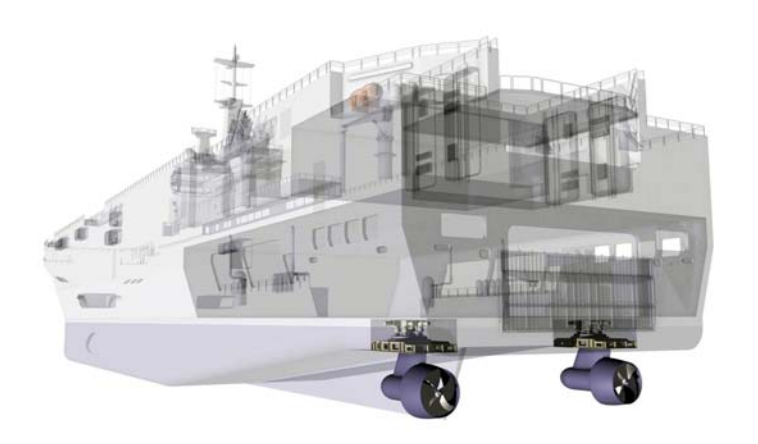
Domaines d'application : électronique de puissance - production d'énergie



Domaines d'application : électronique de puissance - production d'énergie



Domaines d'application : électronique de puissance - propulsion

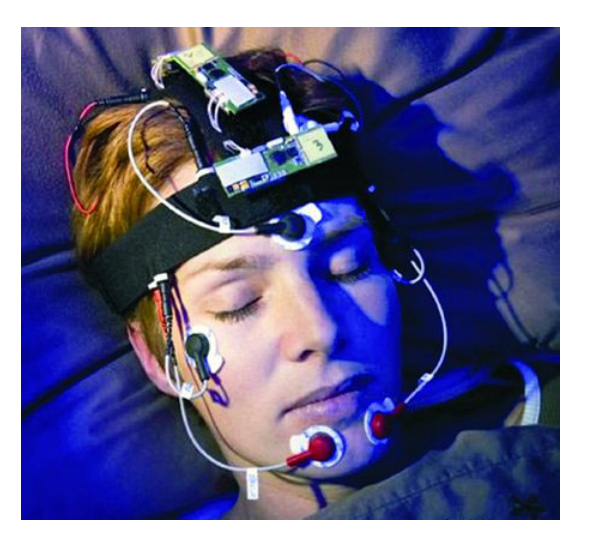


Domaines d'application : électronique de puissance

Enjeux:

- Courants, tensions et puissances élevés.
- Conversion d'énergie : optimisation du couple, réduction des pertes...
- Gestion de consommation et production distribuée : supervision, commande à distance...
- Limitation des perturbations électromagnétiques : normalisation...

Domaines d'application : électronique médicale



Domaines d'application : électronique médicale



Domaines d'application : Électronique médicale

Enjeux:

- Objets connectés : ultra intégré, low power, contrôle et communication distants...
- Robotique : intégration mécanique et électronique...
- Absence de risque pour la santé : fiabilité, normalisation...

Domaines d'application : électronique spatiale

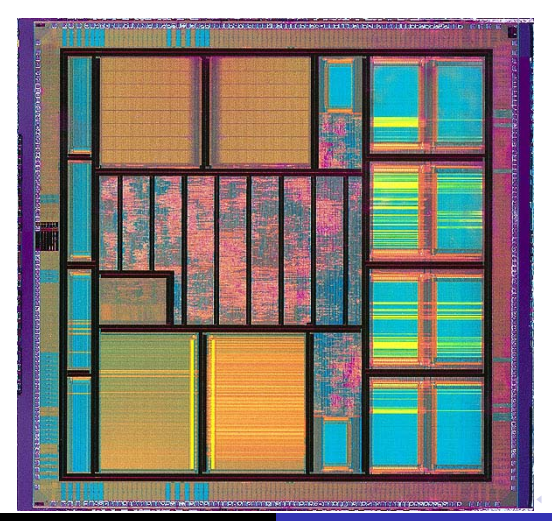


Domaines d'application : électronique spatiale

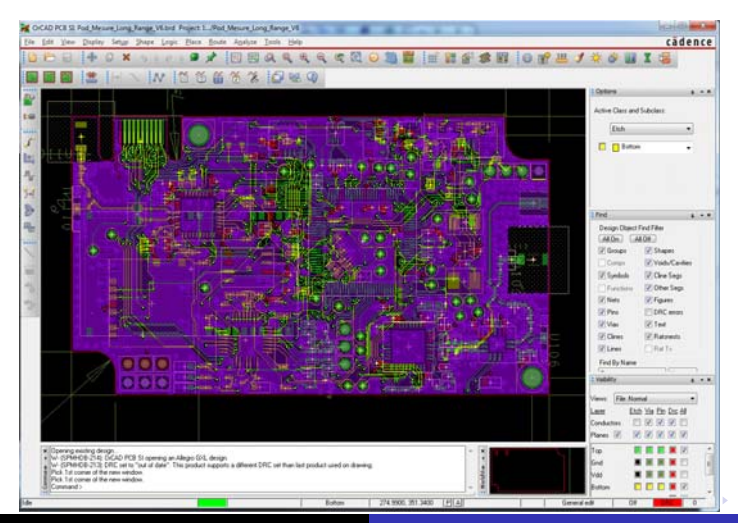
Enjeux:

- Robustesse : température, vibrations, radiations...
- Récupération et gestion de l'énergie.
- Communication radio longue distance et téléopérabilité.

Métiers de l'électronique : conception de circuits silicium



Métiers de l'électronique : conception de systèmes électroniques



Métiers de l'électronique : informatique industrielle



Métiers de l'électronique : ingénierie de recherche



Métiers de l'électronique : assemblage - pick and place

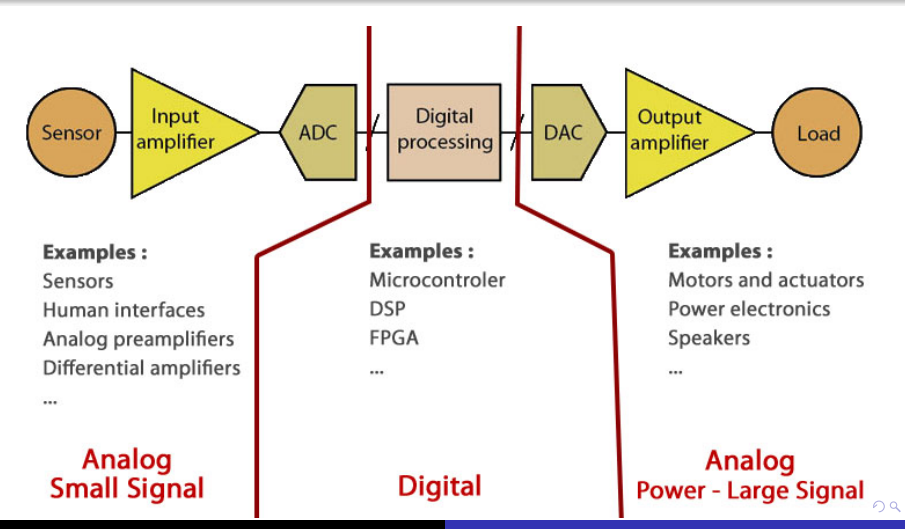


Métiers de l'électronique : assemblage électronique - en Chine





Schéma classique d'un système interfacé avec le monde réel



Electronique

Bases de l'électroniques analogiques

Contenu du cours

- Electronique linéaire en représentation temporelle :
 - Composants élémentaires de l'électronique
 - Amplificateur opérationnel en régime linéaire.
- Electronique linéaire en représentation fréquentielle :
 - Représentation fréquentielle
 - Filtres du premier ordre.
- Electronique non linéaire :
 - Comparateurs et triggers à hystérésis

Objectifs du cours

Objectifs:

- Connaître les composants élémentaires de l'électronique.
- Connaitre leurs applications dans les fonctions de base.

Compétences minimales :

- Mettre en oeuvre des fonctions électroniques de base et en valider le fonctionnement.
- Savoir exploiter un document constructeur et prendre en compte les caractéristiques d'un composant réel et ses limitations.

Plan du Chapitre introductif

- Electronique linéaire en représentation temporelle
 - Les composants élémentaires de l'électronique
 - Amplificateur opérationnel en régime linéaire
- Electronique linéaire en représentation fréquentielle
 - Représentation fréquentielle
 - Filtrage du premier ordre
- Electronique non linéaire
 - Amplificateur opérationnel en régime saturé
 - Comparateurs et triggers
 - Générateur de signaux carrés et triangulaires



Plan

- Electronique linéaire en représentation temporelle
 - Les composants élémentaires de l'électronique
 - Amplificateur opérationnel en régime linéaire
- Electronique linéaire en représentation fréquentielle
 - Représentation fréquentielle
 - Filtrage du premier ordre
- 3 Electronique non linéaire
 - Amplificateur opérationnel en régime saturé
 - Comparateurs et triggers
 - Générateur de signaux carrés et triangulaires



Les conventions en électronique

Les conventions sont à connaître par coeur!



fig: Convention Récepteur



fig: Convention Générateur

Composants élémentaires de l'électronique

Le tableau suivant récapitule pour les 3 composants de base, les expressions des relations temporelles courant-tension en convention récepteur et convention générateur :

Composant	Relation U-I (Convention récepteur)	Relation U-I (Convention générateur)		
Résistance	U = RI	U = -RI		
Condensateur	$i = \frac{dq}{dt} = C\frac{d(u_C)}{dt}$	$i = -C\frac{d(u_C)}{dt}$		
Inductance	$u_L = L \frac{di}{dt}$	$u_L = -L \frac{di}{dt}$		

Les composants : des milliers de choix possibles

- Critères de choix :
 - Performances et limitations
 - Coût
 - Disponibilité
- Outils pour choisir :
 - Sites internet de vente de composants : choix très vaste (Digikey, Farnell, Radiospares, ...)
 - Documentations techniques (datasheet): indispensable et disponible sur les sites

Exemple : documentation technique d'un amplificateur opérationnel



TL084 TL084A - TL084B

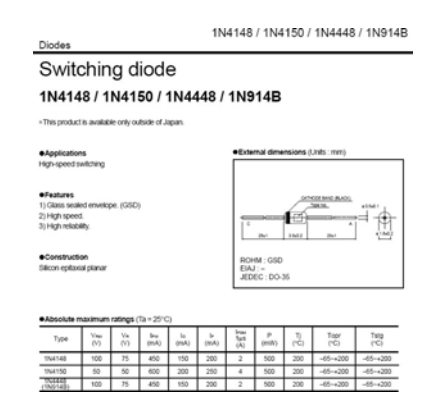
GENERAL PURPOSE J-FET QUAD OPERATIONAL AMPLIFIERS

- WIDE COMMON-MODE (UP TO V_{CC}⁺) AND DIFFERENTIAL VOLTAGE RANGE
- LOW INPUT BIAS AND OFFSET CURRENT
- OUTPUT SHORT-CIRCUIT PROTECTION
- HIGH INPUT IMPEDANCE J-FET INPUT STAGE
- INTERNAL FREQUENCY COMPENSATION
- LATCH UP FREE OPERATION
- HIGH SLEW RATE: 16V/µs (typ)

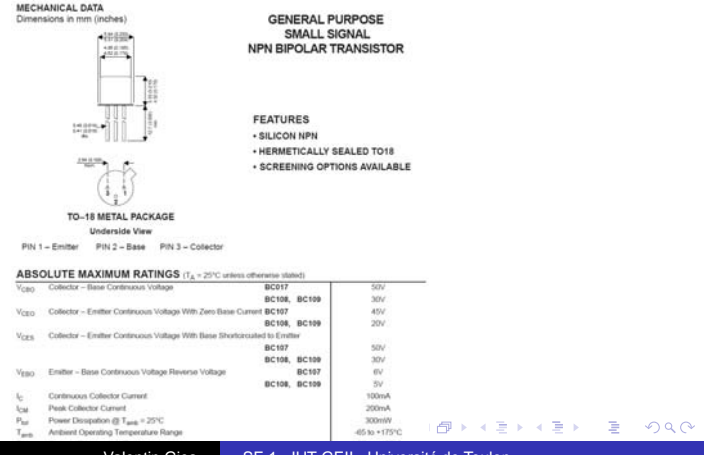




Exemple: documentation technique d'une diode



Exemple: documentation technique d'un transistor bipolaire:



Limitations des composants (1)

Valeurs maximales admissibles :

• **Tension** : V_{max} (ex. V_{max} supportée par une diode)

FORWARD VOLTAGE LIMITS - ALL TYPES

	V F1	V F2	V F3	V _{F4}	V _{F5}
Limits	I _F = 1 mA dc	I _F = 10 mA dc	I _F = 50 mA dc (Pulsed)	I _F = 100 mA dc (Pulsed)	I _F = 200 mA dc (Pulsed)
	V dc	V dc	V dc	V dc	V dc
minimum	0.540	0.660	0.760	0.820	0.870
maximum	0.620	0.740	0.860	0.920	1.000

Courant : I_{max}

Forward Surge Current: 4A, (tp = 1µs); 0.5A (tp = 1s)

Puissance (limitation thermique) : P_{max}

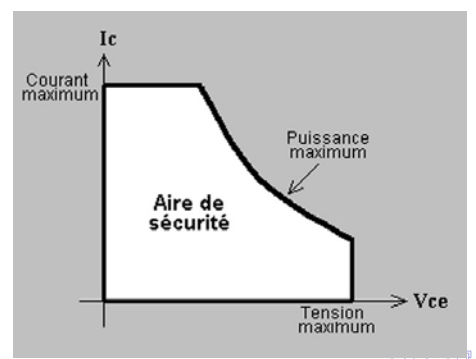
DISSIPATION RATING TABLE

PACKAGE	T _A ≤ 25°C POWER RATING	DERATING FACTOR	DERATE ABOVE TA	TA = 70°C POWER RATING	T _A = 85°C POWER RATING	T _A = 125°C POWER RATING
D (14 pin)	680 mW	7.6 mW/°C	60°C	604 mW	490 mW	186 mW
FK	680 mW	11.0 mW/°C	88°C	680 mW	680 mW	273 mW
J	680 mW	11.0 mW/°C	88°C	680 mW	680 mW	273 mW
JG	680 mW	8.4 mW/°C	69°C	672 mW	546 mW	210 mW

Limitations des composants (2)

Le **domaine de sécurité** correspond aux couples (V, I) assurant un fonctionnement sûr du composant :

$$V_{Limite} = \frac{P_{max}}{I}$$



Limitations des composants (3)

• Dispersion des paramètres : exemple β d'un transistor

Parameter		Test Conditions		Min.	Тур.	Max.	Unit
h _{21E}	Static Forward Current Transfer Ratio	V _{CE} = 5V Group A Group B Group C	I _C = 2mA BC107, BC108 All Types BC108, BC109 BC107	110 180	тур.	220 460 800 460	Oiiik
			BC108 BC109	110 180		800 800	

 Limitations électriques (courant de fuite, gain fini, impédance d'entrée finie...)

	Parameter	Test Conditions	Min.	Typ.	Max.	Unit
I _{CBO(1)}	Collector-Base Leakage Current	V _{CB} = 45V BC107			15	nA
		V _{CB} = 25V BC108, BC109	9		15	TIA.
I _{CBO(1)}	Collector-Emitter Leakage Current	V _{CB} = 45V BC107			4	μА
	@Tamb =125°C	V _{CB} = 25V BC108, BC109)		4	μι
l _{EBO}	Emitter Cut-off Current	V _{EB} = 4V I _C = 0			1	μА

Limitations en fonctionnement : ex. slew rate d'un A.O.

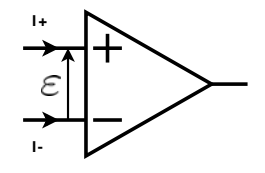
operating characteristics, V_{CC±} = ±15 V, T_A = 25°C (unless otherwise noted)

	PARAMETER		TEST CONDIT	TIONS		MIN	TYP	MAX	UNIT
		V _I = 10 V,	$R_L = 2 k\Omega$	CL = 100 pF,	See Figure 1	8*	13		
SR	Slew rate at unity gain	V _I = 10 V,	R _L = 2 kΩ,	C _L = 100 pF,		5*			V/µs



L'amplificateur opérationnel en régime linéaire

Représentations :



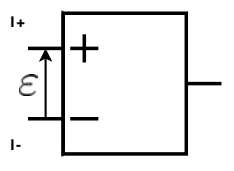


fig: Représentation US

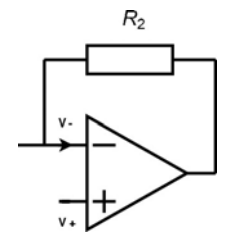
fig: Représentation EU

- Propriétés (règle des 3 zéros) :
 - $I_+ = I_- = 0$ (impédances d'entrée infinies)
 - En régime linéaire : $\varepsilon = 0$
 - Impédance de sortie nulle
- **Remarque** : les alimentations $+V_{CC}$ et $-V_{CC}$ ne sont pas représentées mais sont indispensables.

L'amplificateur opérationnel en régime linéaire

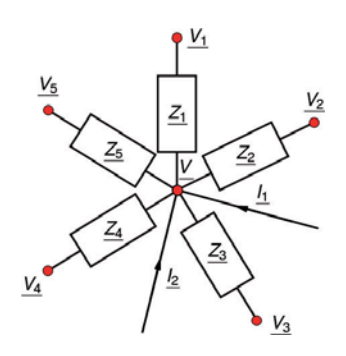
Conditions pour être en régime linéaire :

 Contre-réaction négative : il faut avoir un bouclage de la sortie sur l'entrée V_ de l'A.O. :



⇒ La contre-réaction négative est indispensable compte tenu du fonctionnement différentiel de l'A.O.

Montages à amplificateurs opérationnels : Théorème de Millman



$$V = \frac{\sum_{i} \frac{V_{i}}{Z_{i}} + \sum_{j} I_{j}}{\sum_{i} \frac{1}{Z_{i}}}$$

V est le **barycentre des potentiels voisins** pondérés par l'inverse des impédances.

Montages à amplificateurs opérationnels : Théorème de Millman

Démonstration :

• Dans chaque branche i contenant une impédance on a : $V_i - V$

On applique la loi des nœuds en V:

$$\sum_{i} I_{i} + \sum_{i} I_{j} = 0$$

En remplaçant on obtient :

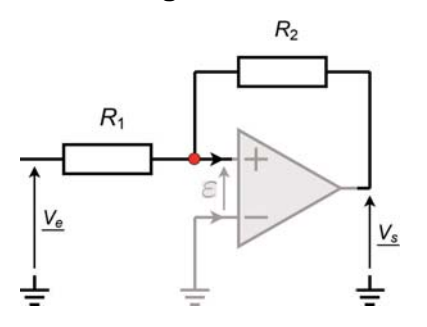
$$\sum_{i} \frac{V_{i} - V}{Z_{i}} + \sum_{j} I_{j} = 0 \quad \Rightarrow \quad \sum_{i} \frac{V_{i}}{Z_{i}} + \sum_{j} I_{j} = \sum_{i} \frac{V}{Z_{i}}$$

On obtient finalement :

$$V = \frac{\sum_{i} \frac{V_{i}}{Z_{i}} + \sum_{j} l_{j}}{\sum_{i} \frac{1}{Z_{i}}}$$

Montages à amplificateurs opérationnels : Théorème de Millman

Utilisation dans les montages à A.O. :

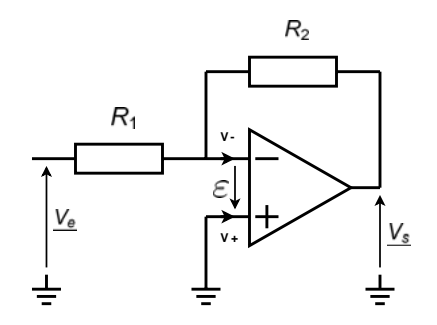


• Permet de calculer les potentiels V_+ et V_- : les courants i_+ et i_- sont

nuls, on a donc ici par exemple :
$$V_{-} = \frac{\frac{V_{e}}{R_{1}} + \frac{V_{s}}{R_{2}}}{\frac{1}{R_{1}} + \frac{1}{R_{2}}} = \frac{V_{e}R_{2} + V_{s}R_{1}}{R_{1} + R_{2}}$$

Montage amplificateur inverseur

Schéma :



• Propriétés :

•
$$H = \frac{V_s}{V_e} = -\frac{R_2}{R_1}$$

•
$$Z_e = R_1$$

Montage amplificateur inverseur

Démonstration :

■ Théorème de Millman en V_−:

$$V_{-} = \frac{\frac{V_{e}}{R_{1}} + \frac{V_{s}}{R_{2}}}{\frac{1}{R_{1}} + \frac{1}{R_{2}}} = \frac{V_{e}R_{2} + V_{s}R_{1}}{R_{1} + R_{2}}$$

- $V_{+} = 0$
- On utilise le fait que $\varepsilon = V_+ V_- = 0$ $\Rightarrow V_e R_2 + V_s R_1 = 0$
- On obtient finalement : $H = \frac{V_s}{V_e} = -\frac{R_2}{R_1}$

Montage amplificateur inverseur

Représentation temporelle :

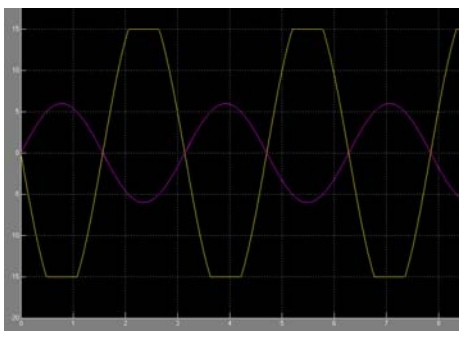


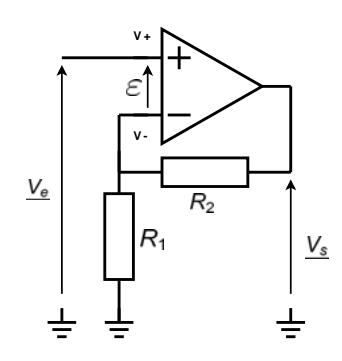
fig: Entrée en violet, sortie en jaune

Remarque :

• La tension de sortie ne peut sortir de l'intervalle $[-V_{cc}; +V_{cc}]$, sinon, il y a saturation

Montage amplificateur non-inverseur

Schéma :



Propriétés :

•
$$H = \frac{V_s}{V_e} = 1 + \frac{R_2}{R_1}$$

•
$$Z_e = \infty$$

Montage amplificateur non-inverseur

Démonstration :

● Théorème de Millman en V_ :

$$V_{-} = \frac{\frac{0}{R_{1}} + \frac{V_{s}}{R_{2}}}{\frac{1}{R_{1}} + \frac{1}{R_{2}}} = \frac{R_{1}}{R_{1} + R_{2}} V_{s}$$

- $V_{+} = V_{e}$
- On utilise le fait que $\varepsilon = V_+ V_- = 0$ $\Rightarrow V_e = \frac{R_1}{R_1 + R_2} V_s$
- On obtient finalement : $H = \frac{V_s}{V_e} = 1 + \frac{R_2}{R_1}$

Montage amplificateur non-inverseur

Représentation temporelle :

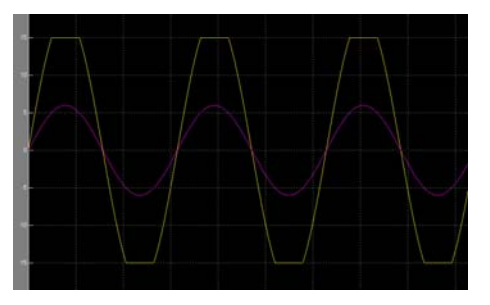


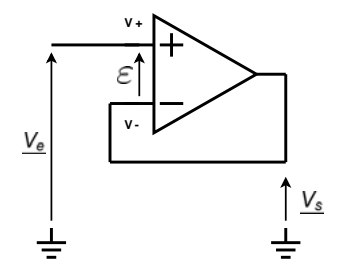
fig: Entrée en violet, sortie en jaune

Remarque :

• La tension de sortie ne peut sortir de l'intervalle $[-V_{cc}; +V_{cc}]$, sinon, il y a saturation

Montage suiveur

Schéma :



• Propriétés :

•
$$H = \frac{V_s}{V_s} = 1$$

•
$$Z_{\rm e}=\infty$$

Montage suiveur

Démonstration :

- $V_{-} = V_{s}$
- $V_+ = V_e$
- On utilise le fait que $\varepsilon = V_+ V_- = 0$ $\Rightarrow V_e = V_s$
- On obtient donc : $H = \frac{V_s}{V_e} = 1$

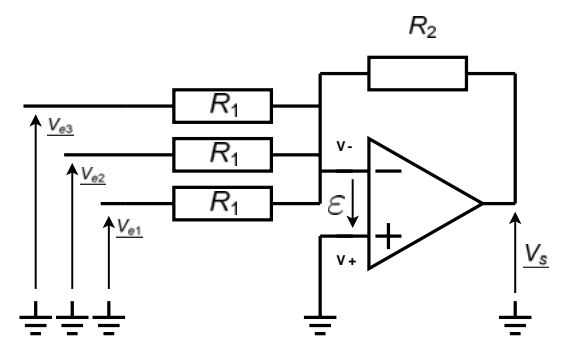
Intérêt du montage :

Permet d'avoir une **impédance d'entrée infinie** tout en transmettant de manière transparente le signal d'entrée.

Il isole les blocs entre eux, ce qui permet de multiplier les fonctions de transfert successives de la chaine.

Montage sommateur inverseur

Schéma :



Propriétés :

•
$$V_s = -\frac{R_2}{R_1}(V_{e1} + V_{e2} + V_{e3})$$

Montage sommateur inverseur

Démonstration :

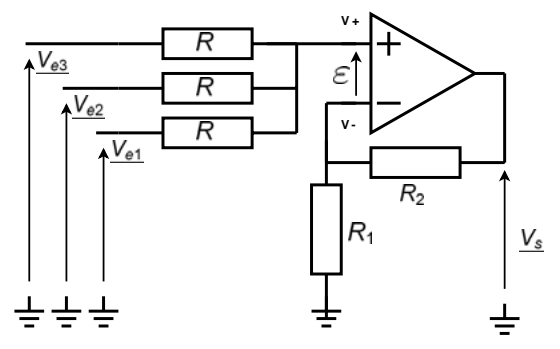
■ Théorème de Millman en V_−:

$$V_{-} = \frac{\frac{V_{e1}}{R_{1}} + \frac{V_{e2}}{R_{1}} + \frac{V_{e3}}{R_{1}} + \frac{V_{s}}{R_{2}}}{\frac{1}{R_{1}} + \frac{1}{R_{1}} + \frac{1}{R_{1}} + \frac{1}{R_{2}}} = \frac{(V_{e1} + V_{e2} + V_{e3})R_{2} + V_{s}R_{1}}{R_{1} + R_{2}}$$

- $V_{+} = 0$
- On utilise le fait que $\varepsilon = V_+ V_- = 0$ $\Rightarrow (V_{e1} + V_{e2} + V_{e3})R_2 + V_sR_1 = 0$
- On obtient finalement : $V_s = -\frac{R_2}{R_1}(V_{e1} + V_{e2} + V_{e3})$

Montage sommateur non-inverseur

Schéma :



• Propriétés :

•
$$V_s = \left(1 + \frac{R_2}{R_1}\right) \frac{V_{e1} + V_{e2} + V_{e3}}{3}$$

Montage sommateur non-inverseur

Démonstration :

•
$$V_{-} = \frac{\frac{0}{R_{1}} + \frac{V_{s}}{R_{2}}}{\frac{1}{R_{1}} + \frac{1}{R_{2}}} = \frac{R_{1}}{R_{1} + R_{2}} V_{s}$$

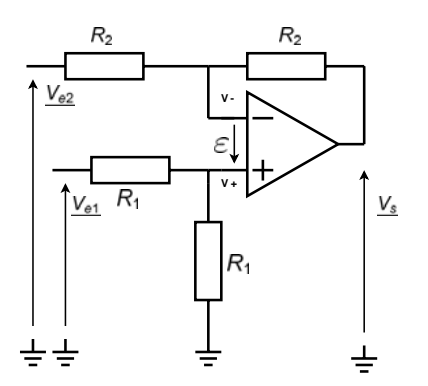
•
$$V_{+} = \frac{\frac{V_{e1}}{R} + \frac{V_{e2}}{R} + \frac{V_{e3}}{R}}{\frac{1}{R} + \frac{1}{R} + \frac{1}{R}} = \frac{V_{e1} + V_{e2} + V_{e3}}{3}$$

• On utilise le fait que $\varepsilon = V_+ - V_- = 0$

$$\Rightarrow V_s = \left(1 + \frac{R_2}{R_1}\right) \frac{V_{e1} + V_{e2} + V_{e3}}{3}$$

Montage soustracteur

Schéma :



- Propriétés :
 - $V_s = V_{e1} V_{e2}$

Montage soustracteur

Démonstration :

$$V_{-} = \frac{\frac{V_{e2}}{R_{2}} + \frac{V_{s}}{R_{2}}}{\frac{1}{R_{2}} + \frac{1}{R_{2}}} = \frac{1}{2}(V_{e2} + V_{s})$$

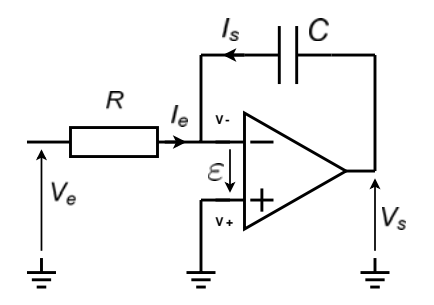
•
$$V_+ = \frac{R_1}{R_1 + R_1} V_{e1} = \frac{1}{2} V_{e1}$$

• On utilise le fait que $\varepsilon = V_+ - V_- = 0$

$$\Rightarrow$$
 $V_s = V_{e1} - V_{e2}$

Montage intégrateur (inverseur)

Schéma :



• Propriétés :

•
$$V_s(t) = -\frac{1}{RC} \int V_e(t) dt$$

Montage intégrateur (inverseur)

Démonstration (Attention, on travaille en temporel ici) :

•
$$V_{-} = V_{+} = 0$$

$$I_{e} = \frac{V_{e} - V_{-}}{R} = \frac{V_{e}}{R}$$

$$I_{s} = C \frac{d(V_{s} - V_{-})}{dt} = C \frac{d(V_{s})}{dt}$$

• Or $I_e = -I_s$ donc:

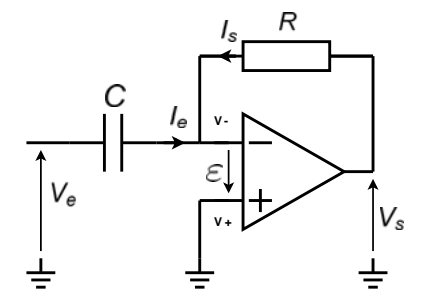
$$\frac{V_{e}}{R} = -C \frac{d(V_{s})}{dt}$$

On obtient donc finalement :

$$V_s(t) - V_s(0) = -\frac{1}{RC} \int V_e(t) dt$$

Montage dérivateur (inverseur)

Schéma :



• Propriétés :

$$V_s(t) = -RC \frac{d(V_e)}{dt}$$

Montage dérivateur (inverseur)

Démonstration (Attention, on travaille en temporel ici) :

•
$$V_{-} = V_{+} = 0$$

$$I_{s} = \frac{V_{s} - V_{-}}{R} = \frac{V_{s}}{R}$$

$$I_{e} = C \frac{d(V_{e} - V_{-})}{dt} = C \frac{d(V_{e})}{dt}$$

• Or $I_e = -I_s$ donc :

$$\frac{V_{\rm s}}{R} = -C \frac{d(V_{\rm e})}{dt}$$

On obtient donc finalement :

$$V_{s}(t) = -RC \frac{d(V_{e})}{dt}$$

Plan

- Electronique linéaire en représentation temporelle
 - Les composants élémentaires de l'électronique
 - Amplificateur opérationnel en régime linéaire
- Electronique linéaire en représentation fréquentielle
 - Représentation fréquentielle
 - Filtrage du premier ordre
- 3 Electronique non linéaire
 - Amplificateur opérationnel en régime saturé
 - Comparateurs et triggers
 - Générateur de signaux carrés et triangulaires



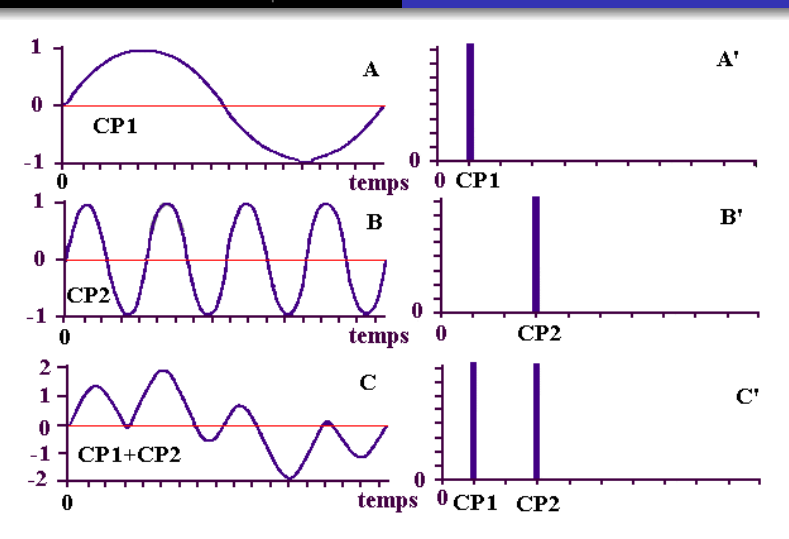


fig: Dualité temps-fréquence

Pourquoi utiliser la réprésentation fréquentielle

En pratique, on rencontre de nombreux signaux **périodiques** : ils peuvent se décomposer (voir cours sur la décomposition en série de Fourier) en **sinusoïdes** de la forme :

$$u(t) = Asin(\omega_0 t + \Phi)$$

- La description temporelle (sinusoïde) est redondante : il n'est pas utile de connaître la valeur de U à tout instant pour caractériser le signal.
- La connaissance de la fréquence ω₀ et de la phase Φ est suffisante ⇒ représentation fréquentielle ou complexe du signal.

$$u(t) = A\sin(\omega_0 t + \Phi)$$
 \Rightarrow $\underline{U} = Ae^{j\Phi}$

Représentation fréquentielle : Impédances

Le tableau suivant récapitule pour les 2 composants de base, les expressions des relations courant-tension en temporel et en complexe en **convention récepteur** :

	Relation U-I (temporel)	Relation U-I (complexe)	Impédance (Ohm)	
Résistance $U = RI$		<u>U</u> = R <u>I</u>	R	
Condensateur	$i = \frac{dq}{dt} = C\frac{d(u_C)}{dt}$	$\underline{U_{C}} = \frac{1}{\jmath C \omega} \underline{I}$	$\frac{1}{\jmath C\omega}$	
Inductance	$u_L = L \frac{di}{dt}$	$\underline{U_L} = \jmath L \omega \underline{I}$	$\jmath {f L} \omega$	



Représentation fréquentielle : Fonction de transfert

Considérons à présent un bloc (quadripôle) constitué de composants linéaires. Pour le caractériser, il faut déterminer :

• L'amplification A:

égale au rapport de l'amplitude du signal de sortie sur celle du signal d'entrée pour chacune des fréquences possibles du signal.

$$A(j\omega) = \frac{|\underline{U}_{s}(j\omega)|}{|\underline{U}_{e}(j\omega)|}$$

• Le déphasage φ :

égal à la différence entre la phase (argument) du signal de sortie et la phase du signal d'entrée pour chacune des fréquences possibles du signal.

$$\varphi(\jmath\omega) = \arg \underline{U_s}(\jmath\omega) - \arg \underline{U_e}(\jmath\omega)$$

Représentation fréquentielle : Fonction de transfert

Pour simplifier, on utilise la **fonction de transfert** : **Rapport** de l'amplitude complexe de la **sortie** sur celle de l'**entrée** :

$$\underline{H}(\jmath\omega) = \frac{\underline{U_s}(\jmath\omega)}{\underline{U_e}(\jmath\omega)}$$

A partir de la fonction de transfert, on obtient :

• L'amplification :

$$A(j\omega) = |\underline{H}(j\omega)| = \left| \frac{\underline{U}_{s}(j\omega)}{\underline{U}_{e}(j\omega)} \right|$$

La phase :

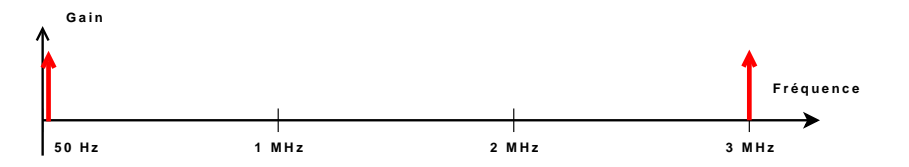
$$\varphi(\jmath\omega) = \arg \underline{H}(\jmath\omega) = \arg \underline{\underline{U_s}(\jmath\omega)} = \arg \underline{\underline{U_s}(\jmath\omega)} - \arg \underline{\underline{U_e}(\jmath\omega)}$$

Représentation fréquentielle : Fonction de transfert Comment représenter une fonction de transfert?

Echelle des fréquences (Abscisse du graphe) :

Question: Comment représenter sur un même graphe les fréquences correspondant par exemple au secteur (50*Hz*) et à un oscillateur à quartz de 3MHz?

Représentation avec échelle linéaire



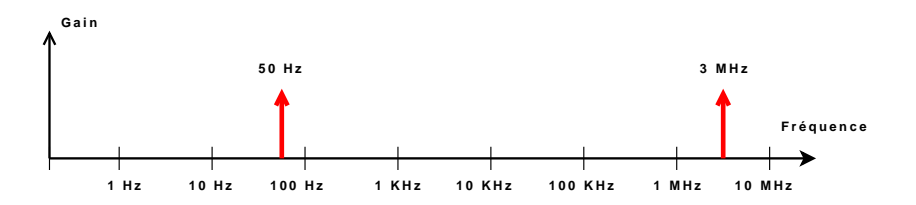
Problème : la représentation de la composante à 50Hz est très **écrasée**.

Représentation fréquentielle : Fonction de transfert Comment représenter une fonction de transfert?

Echelle des fréquences (Abscisse du graphe) :

Idée : espacer les fréquences de la même distance à chaque fois qu'on les multiplient par 10 ⇒ **Echelle logarithmique**

Représentation avec échelle logarithmique



Intérêt : On peut représenter de manière claire une large gamme de fréquence.

Représentation fréquentielle : Fonction de transfert Comment représenter une fonction de transfert?

Echelle des amplifications (Ordonnée du graphe) :

On a le même problème que pour les fréquences : le graphe doit faire apparaitre une dynamique d'amplification importante, typiquement un facteur 10000 ou plus. On a donc recours à l'échelle logarithmique.

On définit le gain en décibel par :

$$G_{dB} = 20 \log A$$

Représentation fréquentielle : Fréquence de coupure

La fréquence de coupure f_c est la fréquence pour laquelle le quadripôle a une amplification en tension ou courant linéaire égale à son amplification maximale divisée par $\sqrt{2}$.

$$A(f_c) = \frac{A_{max}}{\sqrt{2}}$$

En dB, cela correspond à :

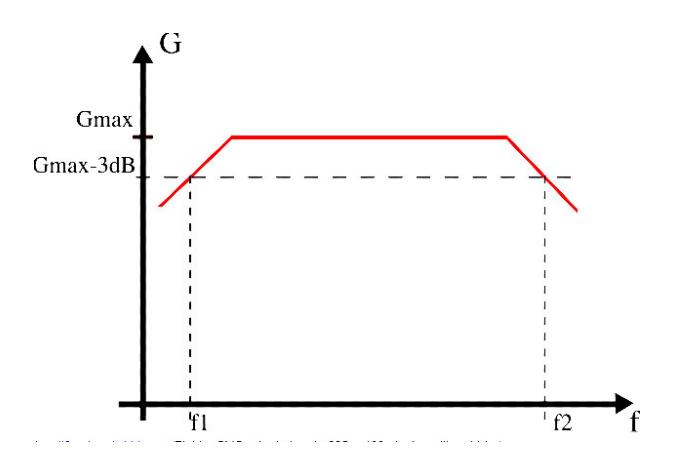
$$G_{dB}(f_c) = 20 \log \left(\frac{A_{max}}{\sqrt{2}}\right) = 20(\log A_{max} - \log \sqrt{2})$$

$$= G_{max_{dB}} - 10 \log 2$$
 $G_{dB}(f_c) = G_{max_{dB}} - 3dB$

La **bande passante** à -3dB est la plage de fréquences pour lesquelles le gain est compris entre $G_{max_{dB}} - 3dB$ et $G_{max_{dB}}$.



Représentation fréquentielle : Fréquence de coupure

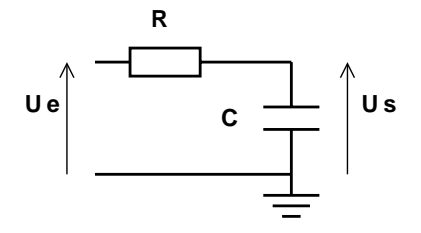


La **bande passante** à -3dB est la plage de fréquences pour lesquelles le gain est compris entre $G_{max_{dB}} - 3dB$ et $G_{max_{dB}}$.



Utilisation de la représentation fréquentielle Filtre passe-bas passif du 1er ordre (1)

On étudie le circuit suivant :



$$\underline{H}(\jmath\omega) = \frac{\underline{U_s}(\jmath\omega)}{\underline{U_e}(\jmath\omega)} = \frac{\underline{Z_C}}{\underline{Z_R} + \underline{Z_C}}$$

$$= \frac{\frac{1}{\jmath C\omega}}{R + \frac{1}{\jmath C\omega}} = \frac{1}{1 + \jmath RC\omega}$$

Utilisation de la représentation fréquentielle Filtre passe-bas passif du 1er ordre (2)

On en déduit les grandeurs caractéristiques :

Amplification :

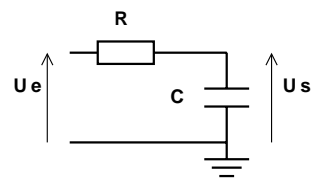
$$A = |\underline{H}(\jmath\omega)| = \left| \frac{1}{1 + \jmath RC\omega} \right|$$
$$= \frac{1}{\sqrt{1 + (RC\omega)^2}}$$

Phase :

$$\varphi = \arg \underline{H}(\jmath \omega) = \arg 1 - \arg (1 + \jmath RC\omega)$$
$$= 0 - \tan^{-1} \left(\frac{RC\omega}{1}\right)$$
$$= -\tan^{-1}(RC\omega)$$

Utilisation de la représentation fréquentielle Filtre passe-bas passif du 1er ordre (3)

Représentation de la fonction de transfert du filtre du premier ordre étudié :



Gain en décibels :

$$G = 20 \log \left(\frac{1}{\sqrt{1 + (RC\omega)^2}} \right)$$

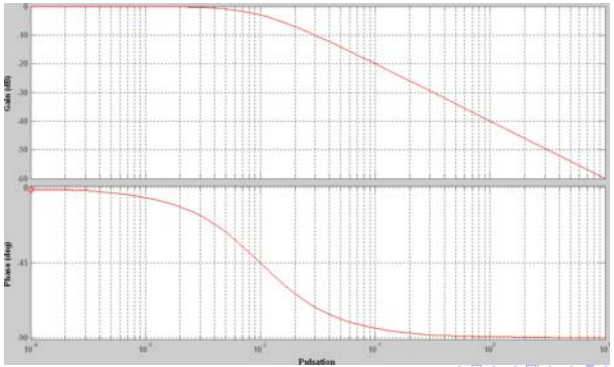
Phase :

$$\varphi = -tan^{-1}(RC\omega)$$

Utilisation de la représentation fréquentielle Filtre passe-bas passif du 1er ordre (4)

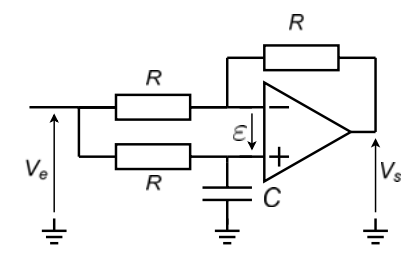
Représentation de la fonction de transfert du filtre du premier ordre étudié :

On choisit ici $\tau = RC = 0.01s$



Montage déphaseur (retard de phase)

Schéma :



Propriétés :

- Amplification : A = 1
- Phase : $\varphi = -2tan^{-1}(RC\omega)$ (retard de phase)



Montage déphaseur (retard de phase)

Démonstration :

$$\underline{V}_{-} = \frac{\frac{\underline{V}_{e}}{\overline{R}} + \frac{\underline{V}_{s}}{\overline{R}}}{\frac{1}{R} + \frac{1}{R}} = \frac{\underline{V}_{e} + \underline{V}_{s}}{2}$$

•
$$\underline{V_+} = \frac{\frac{\underline{V_e}}{R} + 0 \, \jmath C\omega}{\frac{1}{R} + \jmath C\omega} = \frac{\underline{V_e}}{1 + \jmath RC\omega}$$

•
$$\underline{V_{+}} = \underline{V_{-}} \Rightarrow \frac{\underline{V_{e}}}{1 + \jmath RC\omega} = \frac{\underline{V_{e}} + \underline{V_{s}}}{2}$$

$$\Rightarrow \frac{\underline{V_{s}}}{\overline{V_{e}}} = \frac{1 - \jmath RC\omega}{1 + \jmath RC\omega}$$

Montage déphaseur (retard de phase)

Représentation temporelle :

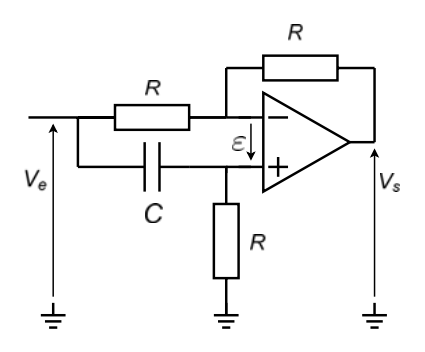


fig: Entrée en violet, sortie en jaune

- Remarque :
 - On constate que la sortie est en retard sur l'entrée.

Montage déphaseur (avance de phase)

Schéma :



Propriétés :

$$\frac{V_s}{V_e} = -\frac{1 - \jmath RC\omega}{1 + \jmath RC\omega}$$

- Amplification : A = 1
- Phase : $\varphi = \pi 2tan^{-1}(RC\omega)$ (avance_de_phase)

Montage déphaseur (avance de phase)

Démonstration :

•
$$\underline{V}_{-} = \frac{\underline{\frac{V_e}{R}} + \underline{\frac{V_s}{R}}}{\underline{\frac{1}{R}} + \underline{\frac{1}{R}}} = \underline{\frac{V_e + V_s}{2}}$$

•
$$\underline{V_+} = \frac{\frac{0}{R} + jC\omega \underline{V_e}}{\frac{1}{R} + jC\omega} = \frac{jRC\omega \underline{V_e}}{1 + jRC\omega}$$

•
$$\underline{V_{+}} = \underline{V_{-}}$$
 $\Rightarrow \frac{\jmath RC\omega}{1 + \jmath RC\omega} = \frac{\underline{V_{e}} + \underline{V_{s}}}{2}$
 $\Rightarrow \frac{\underline{V_{s}}}{\overline{V_{e}}} = \frac{-1 + \jmath RC\omega}{1 + \jmath RC\omega}$

Montage déphaseur (avance de phase)

Représentation temporelle :



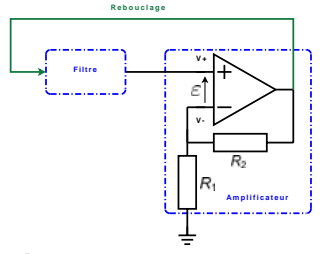
fig: Entrée en violet, sortie en jaune

Remarque :

On constate que la sortie est en avance sur l'entrée.

Oscillateur sinusoïdal

Schéma :



Principe d'un oscillateur :

- Le filtre sélectif a une amplification maximale (par ex A₀ = 0.2) pour une fréquence donnée f₀.
- Si l'amplification de l'ampli vaut $1/A_0(ici = 5)$, celle de la chaîne {filtre + ampli} vaut : A = 1 pour $f = f_0$, A < 1 sinon.
- Compte tenu du rebouclage, les oscillations à f₀ s'entretiennent (A = 1) et les autres fréquences disparaissent (A < 1)

Plan

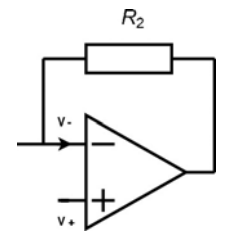
- Electronique linéaire en représentation temporelle
 - Les composants élémentaires de l'électronique
 - Amplificateur opérationnel en régime linéaire
- Electronique linéaire en représentation fréquentielle
 - Représentation fréquentielle
 - Filtrage du premier ordre
- 3 Electronique non linéaire
 - Amplificateur opérationnel en régime saturé
 - Comparateurs et triggers
 - Générateur de signaux carrés et triangulaires



Conditions de fonctionnement linéaire d'un A.O.

Rappel : conditions pour être en régime linéaire

 Contre-réaction négative : il faut avoir un bouclage de la sortie sur l'entrée V de l'A.O. :



⇒ La contre-réaction négative est indispensable compte tenu du fonctionnement différentiel de l'A.O.

Conditions de fonctionnement linéaire d'un A.O.

Dém : la tension de sortie de l'A.O. évolue selon la loi :

$$V_{\rm S} + \frac{1}{\omega_{\rm C}} \frac{dV_{\rm S}}{dt} = \mu \varepsilon \text{ avec } \mu = 10^5$$

Dans le montage amplificateur inverseur, avec contre-réaction **négative**, on a :

$$V_{s} + \frac{1}{\omega_{c}} \frac{dV_{s}}{dt} = \mu(V_{+} - V_{-}) = -\mu \frac{R_{1} V_{s} + R_{2} V_{e}}{R_{1} + R_{2}}$$

$$\Rightarrow V_{s} \left(1 + \mu \frac{R_{1}}{R_{1} + R_{2}}\right) + \frac{1}{\omega_{c}} \frac{dV_{s}}{dt} = -\mu \frac{R_{2}}{R_{1} + R_{2}} V_{e}$$

$$\downarrow V_{s} + \frac{R_{1} + R_{2}}{\mu R_{1}} \frac{1}{\omega_{c}} \frac{dV_{s}}{dt} = -\frac{R_{2}}{R_{1}} V_{e}$$

Conditions de fonctionnement linéaire d'un A.O.

Dém : La tension de sortie de l'A.O. évolue selon la loi :

$$V_{\rm S} + rac{1}{\omega_{
m G}}rac{dV_{
m S}}{dt} = \mu arepsilon ext{ avec } \mu \simeq 10^5$$

Dans le montage amplificateur inverseur, avec contre-réaction positive, on a:

$$V_{s} + \frac{1}{\omega_{c}} \frac{dV_{s}}{dt} = \mu(V_{+} - V_{-}) = +\mu \frac{R_{1}V_{s} + R_{2}V_{e}}{R_{1} + R_{2}}$$

$$\Rightarrow V_{s} \left(1 - \mu \frac{R_{1}}{R_{1} + R_{2}}\right) + \frac{1}{\omega_{c}} \frac{dV_{s}}{dt} = +\mu \frac{R_{2}}{R_{1} + R_{2}}V_{e}$$

$$\Rightarrow V_{s} - \frac{R_{1} + R_{2}}{\mu R_{1}} \frac{1}{\omega_{c}} \frac{dV_{s}}{dt} = +\frac{R_{2}}{R_{1}}V_{e}$$

$$\Rightarrow V_{s} = Ae^{+\frac{R_{1} + R_{2}}{\mu R_{1}\omega_{c}}} t$$

$$\Rightarrow V_{s} = Ae^{+\frac{R_{1} + R_{2}}{\mu R_{1}\omega_{c}}} t + B \Rightarrow \text{divergent}$$

L'amplificateur opérationnel en régime saturé

- Propriétés (règle des 2 zéros) :
 - $I_+ = I_- = 0$ (impédances d'entrée infinies) : **toujours vrai**
 - Impédance de sortie nulle : toujours vrai
- Saturation :
 - Si $\varepsilon > 0 \Rightarrow V_s = +V_{CC}$
 - Si $\varepsilon < 0 \Rightarrow V_s = -V_{CC}$
- **Remarque** : les alimentations $+V_{CC}$ et $-V_{CC}$ ne sont pas représentées mais sont indispensables.

Limitations de l'amplificateur opérationnel

Limitations électriques du TL084 :

PARAMETER		TEST CONDITIONS		TAT	TL081C TL082C TL084C			UNIT	
					MIN	TYP	MAX		
	Input offset voltage	V _O = 0 R _S = 50		25°C		3	15		
VIO		v0=0	KS = 50 II	Full range			20	๗	
αΛΙΟ	Temperature coefficient of input offset voltage	V _O = 0	R _S = 50 Ω	Full range		18		μV/°C	
10	Input offset current‡	V _O = 0		25°C		.5	200	pA	
				Full range			2	nA	
	Input bias current ‡	V _O = 0		25°C		30	400	pA	
IB IIB				Full range			10	nA	
Vicr	Common-mode input voltage range			25°C	±11	-12 to 15		v	
	Maximum peak output voltage swing	$R_L = 10 \text{ k}\Omega$		25°C	±12	±13.5			
VOM		R _L ≥ 10 kΩ			±12			V	
		R _L ≥2 kΩ		Full range	±10	±12			
	Large-signal differential voltage amplification	V _O = ±10 V,	$R_L \geq 2 \ k\Omega$	25°C	25	200			
AVD		V _O = ±10 V.	R _L ≥2kΩ	Full range	15			V/mV	
B ₁	Unity-gain bandwidth			25°C		3		MHz	
η	Input resistance	4		25°C		1012		1	
CMRR	Common-mode rejection ratio	V _{IC} = V _{ICR} m V _O = 0,	in, R _S = 50 Ω	25°C	70	86		dB	
ksvr	Supply-voltage rejection ratio (\Delta VCC±/\Delta V(O)	V _{CC} = ±15 V V _O = 0.	to ±9 V, R _S = 50 Ω	25°C	70	86		dΒ	
loc	Supply current (per amplifier)	V _O = 0,	No load	25°C		1.4	2.8	mA	
Vot/Voz	Crosstalk attenuation	Ayro = 100		25°C		120		dB	

Limitations de l'amplificateur opérationnel

Limitations en fonctionnement du TL084 :

operating characteristics, V_{CC+} = ±15 V, T_A = 25°C (unless otherwise noted)

PARAMETER		TEST CONDITIONS					TYP	MAX	UNIT
		V _I = 10 V, V _I = 10 V, T _A = -55°C to 125°C,	$R_L = 2 k\Omega$	C _L = 100 pF,	See Figure 1	8° 5°	13		V/µs
SR	Slew rate at unity gain		$R_L = 2 k\Omega$, See Figure 1	CL = 100 pF,					
t _f	Rise time	14 - 0014	$R_L=2~k\Omega, \qquad C_L=100~pF,$			0.05		μs	
	Overshoot factor	V _I = 20 mV,		CL = 100 pF,	See Figure 1		20		%
	Equivalent input noise voltage	D	f = 1 kHz				18		nV/√Hz
٧n		R _S = 20 Ω	f = 10 Hz to 10 kHz				4		μV
In	Equivalent input noise current	R _S = 20 Ω,	f = 1 kHz				0.01		pA√Hz
THD	Total harmonic distortion	V _I rms = 6 V, f = 1 kHz	A _{VD} = 1,	R _S ≤ 1 kΩ,	R _L ≥2 kΩ,		0.003		%

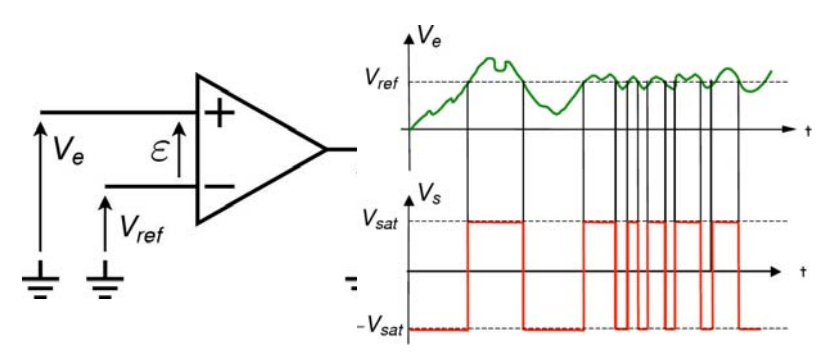
Limitations thermiques du TL084 :

DISSIPATION RATING TABLE

PACKAGE	T _A ≤ 25°C POWER RATING	DERATING FACTOR	DERATE ABOVE T _A	TA = 70°C POWER RATING	TA = 85°C POWER RATING	TA = 125°C POWER RATING
D (14 pin)	680 mW	7.6 mW/°C	60°C	604 mW	490 mW	186 mW
FK	680 mW	11.0 mW/°C	88°C	680 mW	680 mW	273 mW
J	680 mW	11.0 mW/°C	88°C	680 mW	680 mW	273 mW
JG	680 mW	8.4 mW/°C	69°C	672 mW	546 mW	210 mW

Le comparateur à A.O.

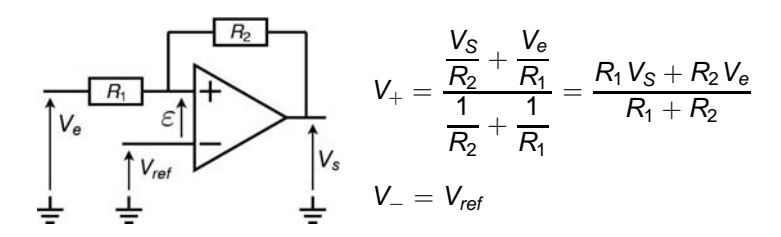
L'A.O. en régime saturé fonctionne en comparateur :



- Caractéristiques :
 - Très fort gain en boucle ouverte.
 - Problème : oscillations dues au bruit.



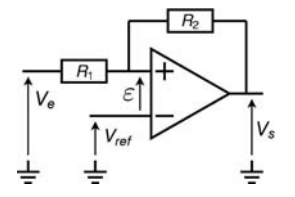
• Quasi-identique à l'amplificateur inverseur :



• Fonctionnement en saturé : on distingue 2 cas

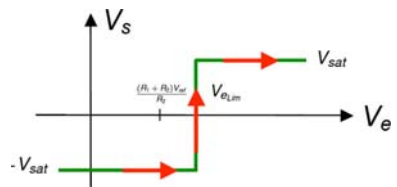
- $V_S = -V_{sat}$.
- $V_S = +V_{sat}$.

• Premier cas : $V_S = -V_{sat}$:

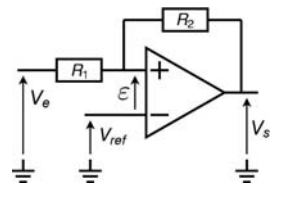


 $egin{aligned} V_{S} & ext{conserve sa valeur tant que} \ V_{+} > V_{ref} \ \Rightarrow V_{e_{Lim+}} = rac{(R_1 + R_2) V_{ref} + R_1 V_{sat}}{R_2} \end{aligned}$

On obtient le fonctionnement suivant

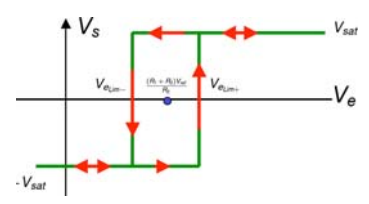


• Deuxième cas : $V_S = +V_{sat}$:



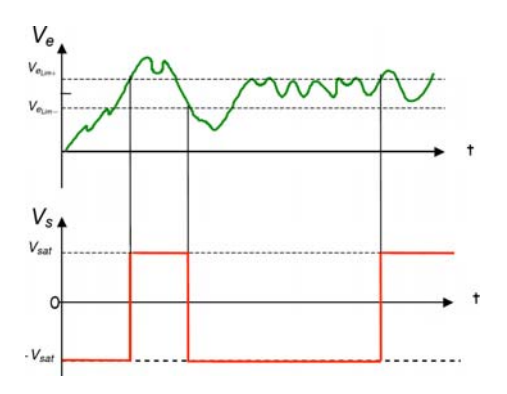
 V_{S} conserve sa valeur tant que $V_{+} < V_{ref}$ $\Rightarrow V_{e_{L/m-}} = \frac{(R_{1} + R_{2})V_{ref} - R_{1}V_{sat}}{R_{2}}$

On obtient le fonctionnement suivant



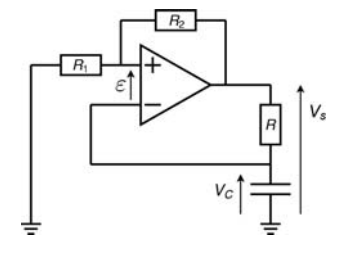
Le cycle décrit est appelé cycle d'hysteresis.

Intérêt du trigger de Schmidt : comparateur à seuil



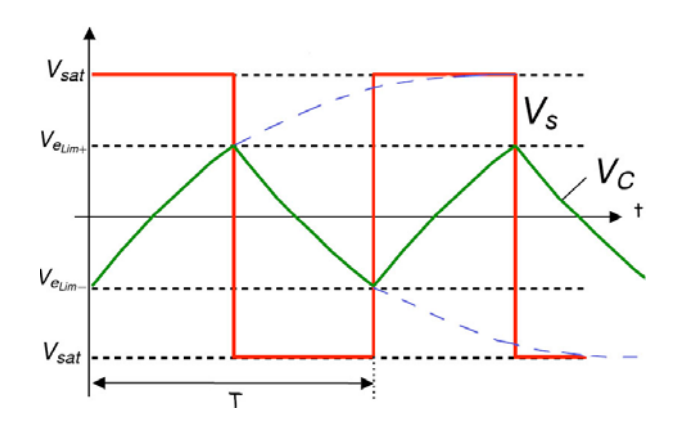
- Propriétés :
 - Permet de filtrer le bruit en entrée.
 - Utilisé pour la génération de signaux.

Couplage d'un trigger et d'un circuit RC :



- Si $V_S = +V_{sat}$: Le condensateur se charge jusqu'à : $V_C = V_{e_{Lim+}} = \frac{R_1}{R_1 + R_2} V_{sat}$
- Si $V_S = -V_{sat}$: Le condensateur se décharge jusqu'à : $V_C = -\frac{R_1}{R_1 + R_2}V_{sat}$

Chronogrammes:



Calcul de la période :

• Calcul du temps de charge (suite) :

La charge se termine lorsque :
$$u_c = \frac{R_1}{R_1 + R_2} V_{sat}$$

$$\Rightarrow \frac{R_1}{R_1 + R_2} V_{sat} = -\left(1 + \frac{R_1}{R_1 + R_2}\right) V_{sat} e^{-\frac{t}{\tau}} + V_{sat}$$

$$\Rightarrow e^{-\frac{t}{\tau}} = 1 + \frac{2R_1}{R_2}$$

$$\Rightarrow t_{charge} = \tau \ln \left(1 + \frac{2R_1}{R_2} \right)$$

Calcul de la période :

• Calcul du temps de décharge :

Equation différentielle de décharge : $u_r + u_c = -V_{sat}$

$$\Rightarrow \frac{du_c}{dt} + \frac{1}{\tau}u_c = \frac{-V_{sat}}{\tau} \text{ avec } \tau = RC$$

$$\Rightarrow u_c = Ae^{-\frac{t}{\tau}} + B$$

Détermination de A et B :

• A
$$t = 0$$
: $u_c = A + B = \frac{R_1}{R_1 + R_2} V_{sat}$

• Quand
$$t \to \infty$$
: $u_c = B = -V_{sat}$

On obtient donc:

$$\Rightarrow u_{c} = \left(1 + \frac{R_{1}}{R_{1} + R_{2}}\right) V_{sat} e^{-\frac{t}{\tau}} - V_{sat}$$

Calcul de la période :

Calcul du temps de décharge (suite) :

La charge se termine lorsque :
$$u_c = -\frac{R_1}{R_1 + R_2} V_{sat}$$

$$\Rightarrow -\frac{R_1}{R_1 + R_2} V_{sat} = (1 + \frac{R_1}{R_1 + R_2}) V_{sat} e^{-\frac{t}{\tau}} - V_{sat}$$

$$\Rightarrow e^{-\frac{t}{\tau}} = 1 + \frac{2R_1}{R_2}$$

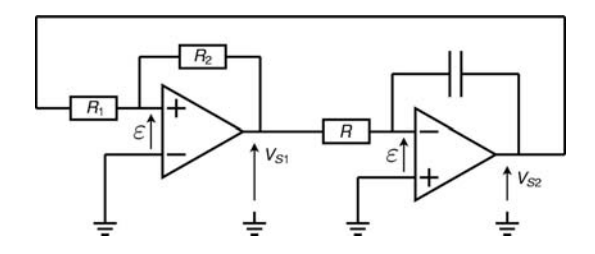
$$\Rightarrow t_{decharge} = au \ln \left(1 + rac{2R_1}{R_2}
ight)$$

• Au final on a une période :

$$T = t_{charge} + t_{decharge} = 2 au \ln\left(1 + rac{2R_1}{R_2}
ight)$$

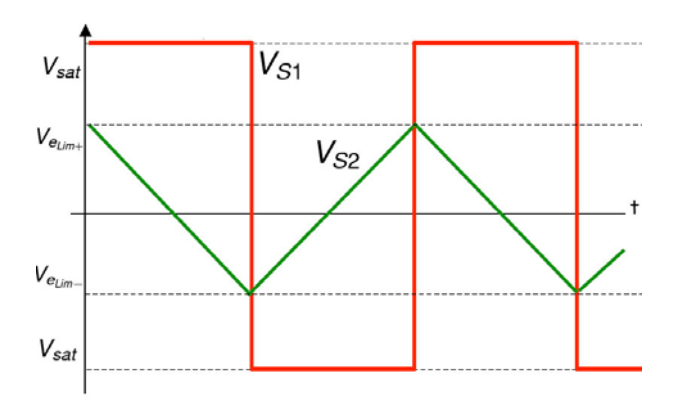


Couplage d'un trigger et d'un circuit intégrateur :



- Si $V_{S1}=+V_{sat}$: Le condensateur se décharge jusqu'à : $V_{S2}=-\frac{R_1}{R_2}V_{sat}$
- Si $V_{S1} = -V_{sat}$: Le condensateur se charge jusqu'à : $V_{S2} = \frac{R_1}{R_2}V_{sat}$

Chronogrammes:



Calcul de la période :

• Calcul du temps de charge ($V_{S2} = -V_{sat}$):

Relation sur les courants :
$$i_r = \frac{-V_{sat}}{R} = -C \frac{d(V_{S2})}{dt}$$

$$\Rightarrow V_{S2} = \frac{V_{sat}}{RC}t + A$$

Détermination de A :

• A
$$t = 0$$
: $V_{S2} = A = -\frac{R_1}{R_2}V_{sat}$

On obtient donc:

$$\Rightarrow V_{S2} = \frac{V_{sat}}{RC}t - \frac{R_1}{R_2}V_{sat}$$

Calcul de la période :

Calcul du temps de charge (suite) :

La charge se termine lorsque :
$$V_{S2} = \frac{R_1}{R_2} V_{sat}$$

$$\Rightarrow \frac{R_1}{R_2} V_{sat} = \frac{V_{sat}}{RC} t - \frac{R_1}{R_2} V_{sat}$$

$$\Rightarrow t_{charge} = 2RC \frac{R_1}{R_2}$$

Calcul de la période :

• Calcul du temps de décharge ($V_{S2} = V_{sat}$) :

Relation sur les courants :
$$i_r = \frac{V_{sat}}{R} = -C \frac{d(V_{S2})}{dt}$$

$$\Rightarrow V_{S2} = -\frac{V_{sat}}{RC}t + A$$

Détermination de A:

• A
$$t = 0$$
: $V_{S2} = A = \frac{R_1}{R_2} V_{sat}$

On obtient donc:

$$\Rightarrow V_{S2} = -\frac{V_{sat}}{RC}t + \frac{R_1}{R_2}V_{sat}$$

Calcul de la période :

Calcul du temps de décharge (suite) :

La charge se termine lorsque :
$$V_{S2} = -\frac{R_1}{R_2}V_{sat}$$

$$\Rightarrow -\frac{R_1}{R_2}V_{sat} = -\frac{V_{sat}}{RC}t + \frac{R_1}{R_2}V_{sat}$$

$$\Rightarrow t_{decharge} = 2RC \frac{R_1}{R_2}$$

Au final on a une période :

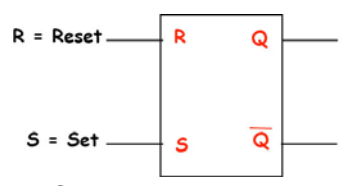
$$T = t_{charge} + t_{decharge} = 4RC \frac{R_1}{R_2}$$

 Rq: pour passer au signal sinusoïdal, on peut utiliser un conformateur à diodes (voir TD).



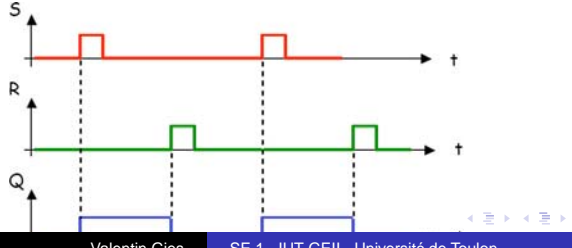
Le Timer NE555 : un générateur de signaux basé sur une bascule RS

Fonctionnement d'une bascule RS :



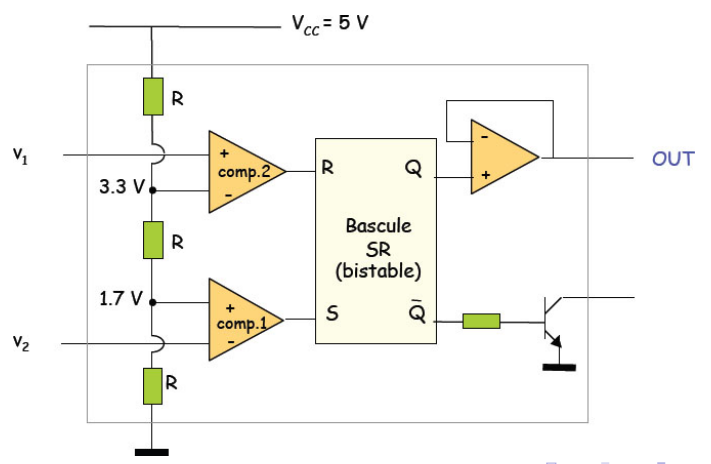
		_
5	R	Sortie
0	0	mémorise l'état précédent Q+ = Q
0	1	Q = 0 , Q = 1
1	0	Q = 1 , Q = 0
1	1	A éviter, car contradictoire

Chronogrammes:



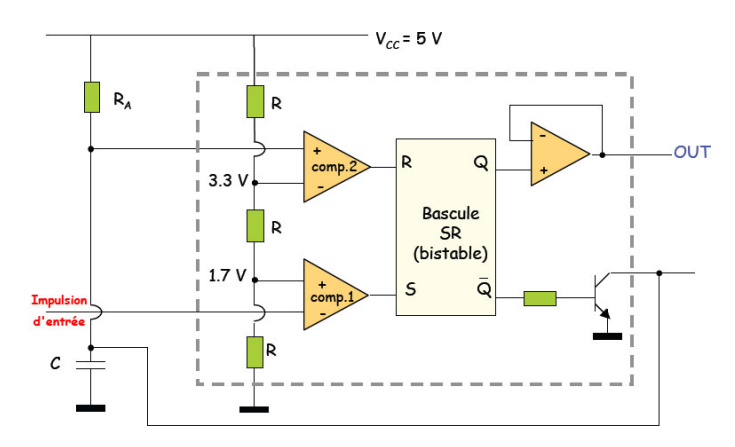
Fonctionnement interne du Timer NE555

Schéma interne :



Timer NE555 en montage monostable

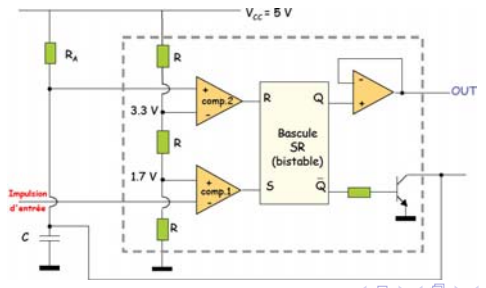
Schéma de câblage externe en monostable :



Timer NE555 en montage monostable

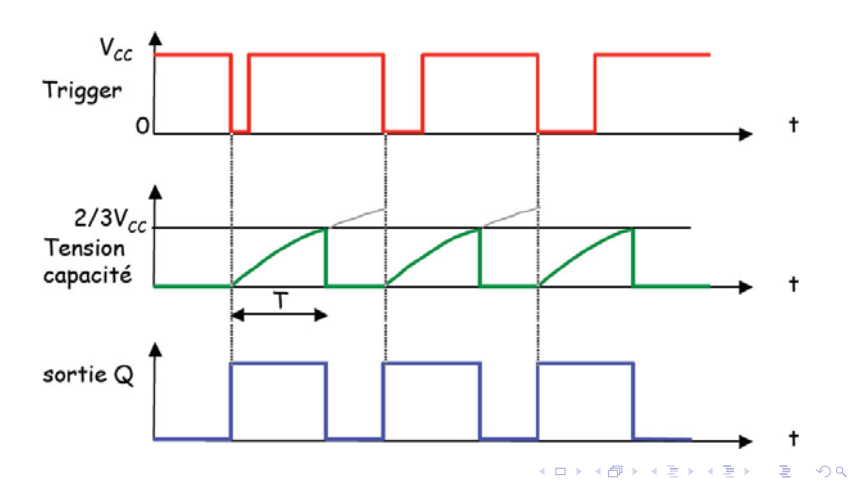
Fonctionnement:

- L'utilisateur envoie une impulsion (0) en entrée ⇒ SET
- Q passe à 1, Q passe à 0 et le transistor ne conduit plus.
- C se charge à travers R jusqu'à ce que V_C = 3.3V
 ⇒ RESET
- Q passe à 0, Q passe à 1 et le transistor conduit. C se décharge instantanément.



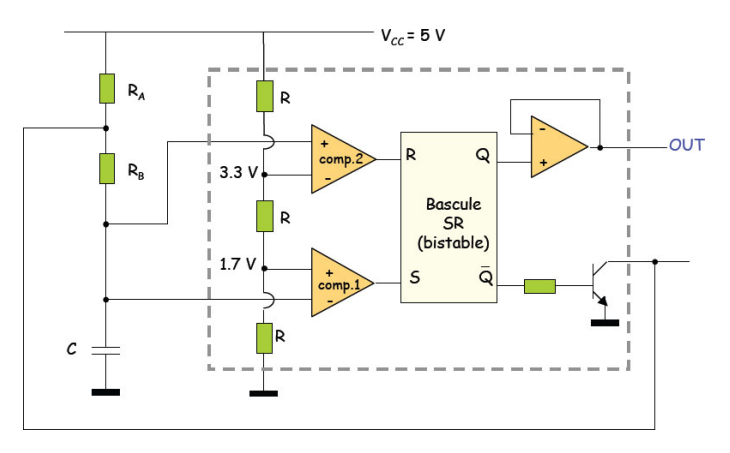
Timer NE555 en montage monostable

Chronogrammes :



Timer NE555 en montage multivibrateur astable

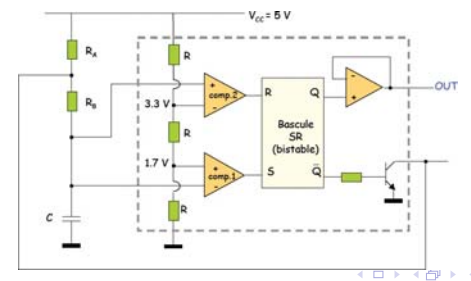
Schéma de câblage externe en multivibrateur astable :



Timer NE555 en montage multivibrateur astable

Fonctionnement:

- Supposons que Q = 1, $\overline{Q} = 0$.
- C se charge à travers $R_A + R_B$ jusqu'à ce que $V_C = 3.3V$ $\Rightarrow RESET$
- Q passe à 0, Q passe à 1 et le transistor conduit.
- C se décharge à travers R_B jusqu'à ce que $V_C = 1.7 V$ $\Rightarrow SET$.
- On reboucle le processus à l'infini ⇒ Astable.

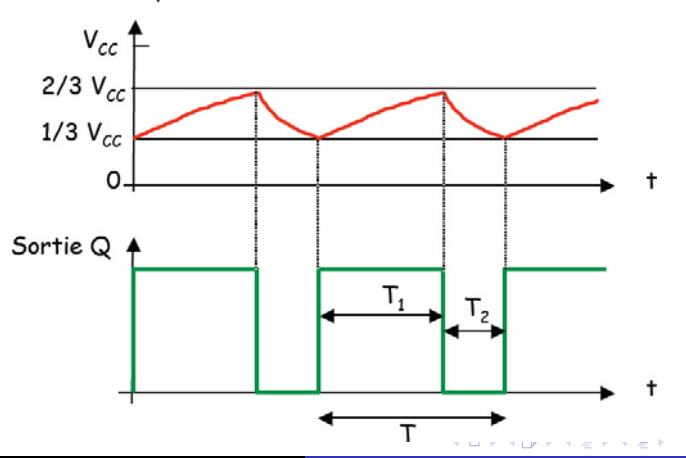


Amplificateur opérationnel en régime saturé Comparateurs et triggers Générateur de signaux carrés et triangulaires

Timer NE555 en montage multivibrateur astable

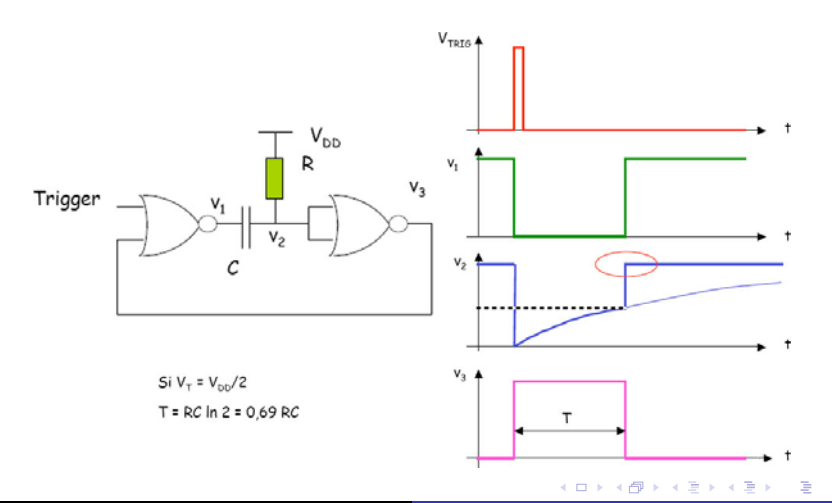
Chronogrammes :

Tension capacité



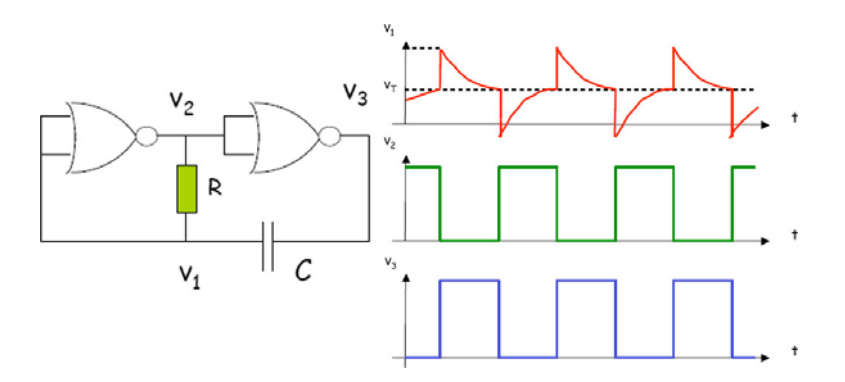
Portes logiques en montage monostable

Schéma et chronogrammes :



Portes logiques en montage multivibrateur astable

Schéma et chronogrammes :



SE 1: Semiconducteurs

Valentin Gies

IUT de Toulon - département GEII Université de Toulon (UTLN)



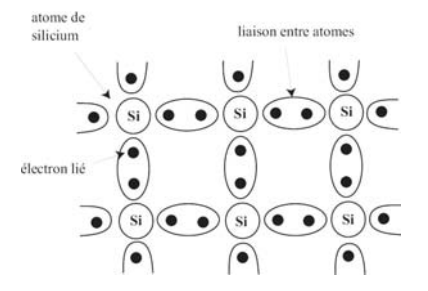
Plan du cours

- Semi-conducteurs
 - Silicium non dopé
 - Silicium dopé
- Diodes
 - Principe
 - Utilisation
 - Les diodes particulières
- Transistor bipolaires
 - Principe de fonctionnement
 - Régime saturé : tout ou rien
 - Régime linéaire : amplification
- Transistors à effet de champ MOSFET
 - Principe du transistor MOSFET
 - Régime saturé : Tout ou Rien
 - Régime linéaire : amplification



Le silicium non dopé

Structure cristalline du silicium non dopé :



- Propriétés :
 - Structure cristalline très rigide.
 - 4 liaisons par atome assurant la rigidité du cristal.



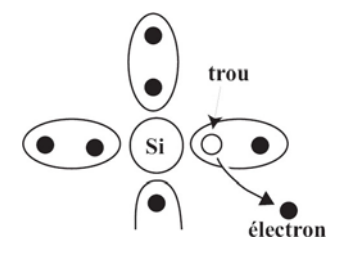
Le silicium non dopé

Bloc de silicium en salle blanche :



Création d'une paire électron-trou

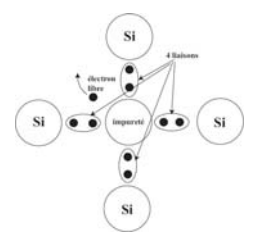
Création d'une paire électron-trou :



- Sous l'action de la température, un électron provenant d'une liaison peut se libérer.
- L'électron (chargé négativement) laisse à sa place un trou (chargé positivement).
- Les trous et électrons sont appelés porteurs libres ⇒ ils sont le support du courant électrique.

Le silicium dopé (1)

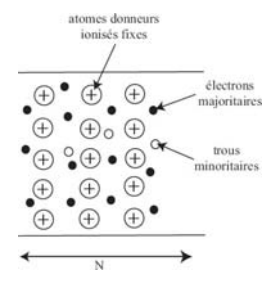
On rajoute des impuretés à la place d'atomes de Si :



- Si l'impureté a 5 électrons (cas de la figure, phosphore) : 1
 électron est libre ⇒ le dopage est de type N (charge Négative)
- Si l'impureté a 3 électrons (bore) : 1 électron est libre ⇒ le dopage est de type P (charge Positive).

Le silicium dopé (2)

Dans un semi-conducteur dopé N, on a donc :

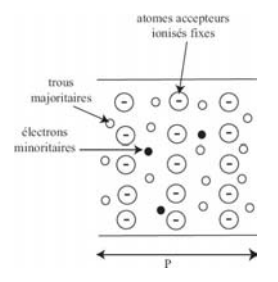


- Des électrons, porteurs libres majoritaires apportés par les impuretés (phosphore).
- Des trous, porteurs libres minoritaires dus à l'agitation thermique.
- Des ions fixes chargés positivement : les impuretés ayant perdu un électron (bore).



Le silicium dopé (3)

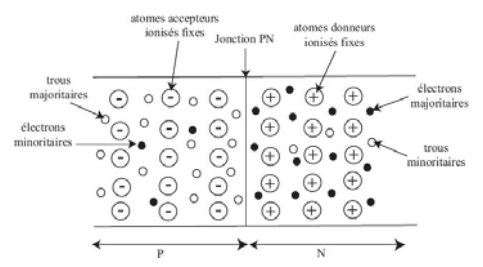
Dans un **semi-conducteur dopé P**, on a donc :



- Des trous, porteurs libres majoritaires apportés par les impuretés.
- Des électrons, porteurs libres minoritaires dus à l'agitation thermique.
- Des ions fixes chargés négativement : les impuretés ayant perdu un trou.

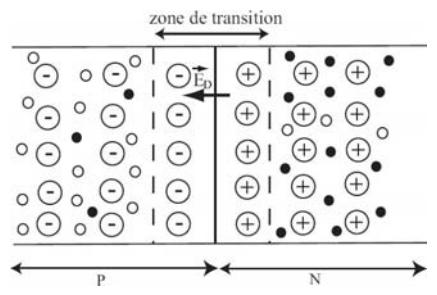
La jonction PN (diode) (1)

Si l'on place un semiconducteur P à coté d'un semi-conducteur N, que se passe-t-il?



La jonction PN (diode) (2)

- Les porteurs majoritaires de chaque coté diffusent (passent de l'autre coté).
- Les électrons et trous qui se rencontrent se recombinent ("disparition").



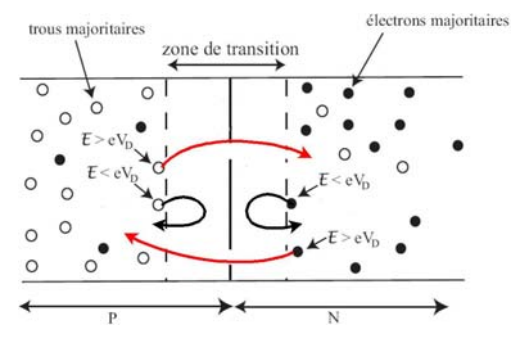
- Dans la zone de transition : il n'y a plus de porteurs libres, il reste les ions fixes.
 - ⇒ Zone de charge d'espace (ZCE).



La jonction PN (diode) (3)

La ZCE : un concours de saut en hauteur pour porteurs libres

- Elle agit globalement comme une barrière de potentiel V_D .
- Seuls les électrons ou les trous ayant une énergie supérieure à eV_d peuvent passer :



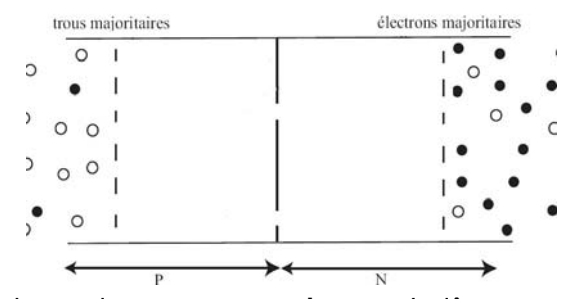
Les ions fixes sont non représentés



La jonction PN (diode) (4)

Diode polarisée en inverse

- La barrière de potentiel V_D augmente.
- Peu de porteurs ont l'énergie suffisante pour passer : la diode se comporte comme un interrupteur ouvert.

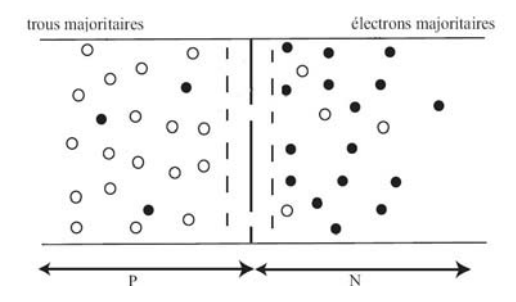


 Rq: il existe toujours un courant inverse I_S dû aux porteurs minoritaires (qques nA).

La jonction PN (diode) (5)

Diode polarisée en direct

- La barrière de potentiel V_D diminue.
- A partir d'une tension de seuil : les porteurs peuvent passer et la diode se comporte comme un interrupteur fermé.

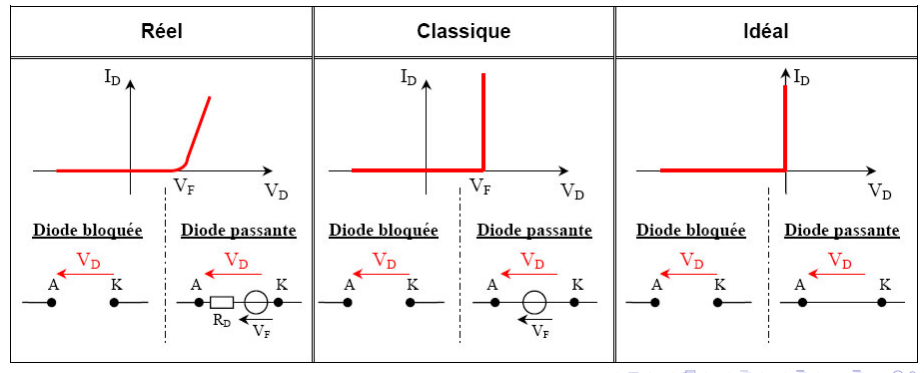


La jonction PN (diode) (6)

Caractéristique courant-tension d'une diode

• Expression du courant dans une diode :
$$I = Is(e^{\frac{CVD}{kT}} - 1)$$

Modèles à connaître :



La jonction PN (diode) (7)

Paramètres importants d'une diode

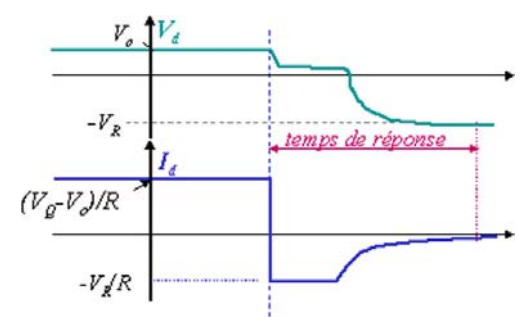
- V_F : Tension de seuil.
- R_D: Résistance interne de la diode.
- I_F: Courant direct maximum supporté par la diode en continu.
- *I_{Fmax}* : Valeur crête limite du courant direct.
- ullet V_{Rmax} : Tension crête inverse maximum supporté par la diode.
- t_{rr}: Temps de recouvrement inverse (pour passer de l'état passant à l'état bloqué).
- t_{dt}: Temps de recouvrement direct (pour passer de l'état bloqué à l'état passant).



La jonction PN (diode) (8)

Limitation d'une diode en commutation

 t_{rr}: Temps de recouvrement inverse (pour passer de l'état passant à l'état bloqué):



 t_{dt}: Temps de recouvrement direct (pour passer de l'état bloqué à l'état passant): idem dans l'autre sens.



Les montages à diodes

Diode = Hypothèse

Si le mode de fonctionnement d'une diode n'est pas trivial, on fait une **hypothèse** et on la vérifie (ou pas) *a posteriori*.

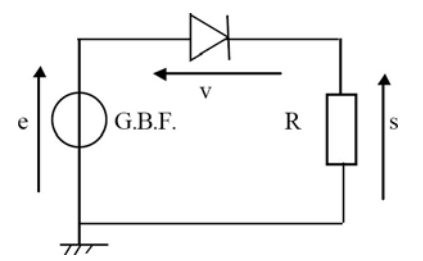
- **Diode passante** : elle se comporte comme un fil \Rightarrow **on vérifie** que $i_D > 0$.
- Diode bloquée : elle se comporte comme un circuit ouvert ⇒ on vérifie que V_D < 0.

Si l'hypothèse est fausse, on en refait une autre...



Exemple de montage à diodes

Redressement mono-alternance à l'aide d'une diode :



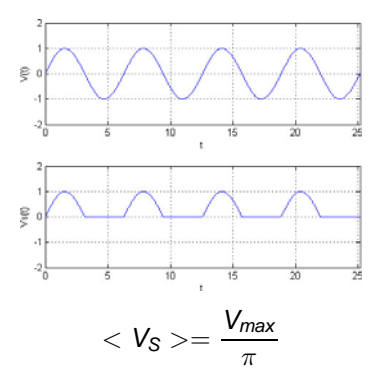
On suppose la diode idéale : \Rightarrow Etudier V_s en fonction de V_e pour $V_e > 0$ et pour $V_e < 0$.

Exemple de montage à diodes

- Si $V_e > 0$: Supposons que la diode est **passante**: elle se comporte comme un fil. On a $V_s = V_e$ et $i = V_e/R > 0$. $\Rightarrow i > 0$, l'hypothèse est vérifiée
- Si $V_e < 0$: Supposons que la diode est **passante**: elle se comporte comme un fil. On a $V_s = V_e$ et $i = V_e/R < 0$. $\Rightarrow i > 0$, l'hypothèse est fausse, la diode est **bloquée**. $\Rightarrow i = 0 \Rightarrow V_s = 0$.

Exemple de montage à diodes

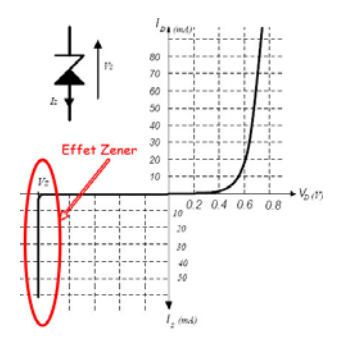
Redressement mono-alternance à l'aide d'une diode : Chronogrammes



L'intérêt d'un tel montage est de générer une tension ayant une composante continue à partir d'une tension sinusoïdale (alimentation secteur par exemple).

La diode Zener

- Si on polarise en **inverse** une diode Zener **en dessous de** V_Z (tension Zener), elle devient passante en sens inverse.
- Caractéristique courant-tension :

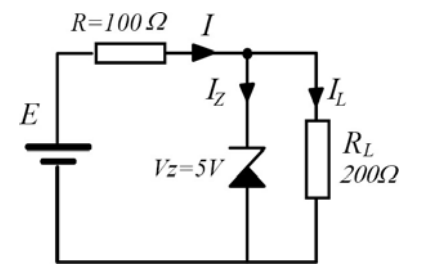


La résistance Zener en conduction est quasi-nulle.



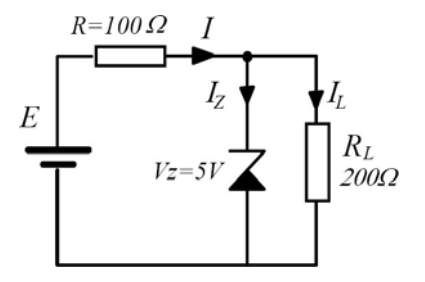
Stabilisation de tension à l'aide d'une diode Zener

Exemple de **stabilisation de tension** à l'aide d'une diode Zener :



 \Rightarrow Etudier le fonctionnement du montage pour E=3V et E=9V :

Stabilisation de tension à l'aide d'une diode Zener(1)



E=3V :

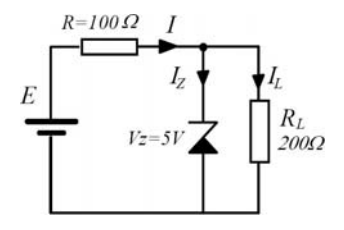
On suppose que la diode Zener est bloquée :

$$V_L = \frac{R_L}{R + R_L} E = \frac{200}{300} 3 = 2V$$

 $V_L < V_Z$, donc la diode Zener est bien bloquée et ne joue aucun rôle.



Stabilisation de tension à l'aide d'une diode Zener(2)



E=9V:

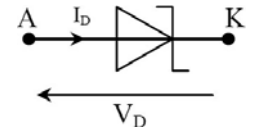
On suppose que la diode Zener est bloquée :

$$V_L = \frac{R_L}{R + R_I} E = \frac{200}{300} 9 = 6 V$$

 $V_L > V_Z$, donc l'hypothèse est fausse : la diode est passante et donc $V_L = 5 V$.

• La diode Zener stabilise la tension de sortie à $V_L = V_Z$.

La diode Schottky



- L'inconvénient des diodes classiques est la présence de temps de recouvrements importants
 - ⇒ limite le fonctionnement à haute fréquence.
- La diode Schottky permet de :
 - réduire le temps de recouvrement à des valeurs très faibles.
 - réduire la tension de seuil.



Le transistor en électronique

De nombreuses utilisations :

- Fonctioner en interrupteur commandé: essentiel pour l'électronique numérique.
- Amplifier un signal : amplificateur de tension, de courant, de puissance
- Etre utilisé comme une source de courant

Ses formes :

- Composant discret.
- Circuit intégré: de quelques unités (ex: AO) à quelques millions de transistors par circuit (ex. 1.4Md dans les Ivy Bridge de chez Intel).

Types de transistors :

- Transistor bipolaire : source de courant pilotée en courant
- Transistor à effet de champs (JFET ou MOSFET) : source de courant pilotée en tension.



Le transistor en électronique

De nombreuses utilisations

- Fonctioner en interrupteur commandé: essentiel pour l'électronique numérique.
- Amplifier un signal : amplificateur de tension, de courant, de puissance
- Etre utilisé comme une source de courant

Ses formes :

- Composant discret.
- Circuit intégré: de quelques unités (ex: AO) à quelques millions de transistors par circuit (ex. 1.4Md dans les Ivy Bridge de chez Intel).

Types de transistors :

- Transistor bipolaire : source de courant pilotée en courant
- Transistor à effet de champs (JFET ou MOSFET) : source de courant pilotée en tension.



Le transistor en électronique

De nombreuses utilisations :

- Fonctioner en interrupteur commandé: essentiel pour l'électronique numérique.
- Amplifier un signal : amplificateur de tension, de courant, de puissance
- Etre utilisé comme une source de courant

Ses formes :

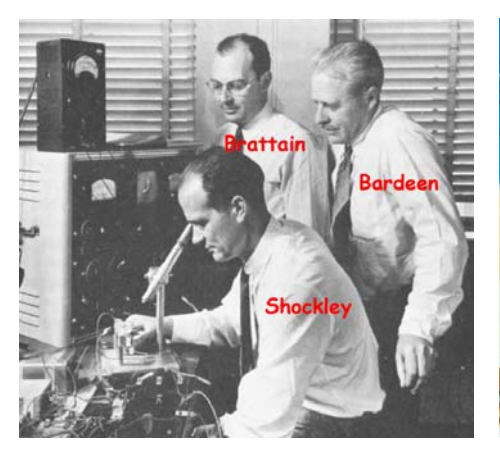
- Composant discret.
- Circuit intégré: de quelques unités (ex: AO) à quelques millions de transistors par circuit (ex. 1.4Md dans les Ivy Bridge de chez Intel).

Types de transistors :

- Transistor bipolaire : source de courant pilotée en courant
- Transistor à effet de champs (JFET ou MOSFET) : source de courant pilotée en tension.



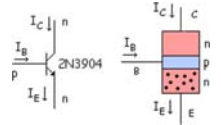
Les inventeurs du transistor





Types de transistors bipolaires

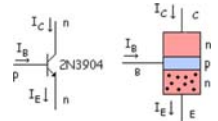
NPN



- Une couche N fortement dopée constituant l'émetteur.
- Une couche P très mince et faiblement dopée constituant la base.
- Une couche N faiblement dopée constituant le collecteur.

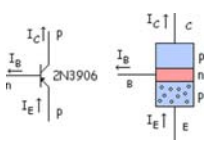
Types de transistors bipolaires

NPN



- Une couche N fortement dopée constituant l'émetteur.
- Une couche P très mince et faiblement dopée constituant la base.
- Une couche N faiblement dopée constituant le collecteur.

PNP



- Une couche P fortement dopée constituant l'émetteur.
- Une couche N très mince et faiblement dopée constituant la base.
- Une couche P faiblement dopée constituant le collecteur.

Principe du transistor bipolaire NPN (1)

- La jonction PN base-émetteur (BE): une diode
 Fonctionne comme une diode si le collecteur est ouvert (non connecté).
- L'effet transistor :
 - Conditions: BE est polarisée en direct (passante), BC polarisée en inverse

 V_C > V_B > V_E
 - Comme BE est polarisée en direct, un courant d'électrons arrive à la base (B).
 - La base étant de type P, les électrons sont des porteurs minoritaires (vis à vis de P) ⇒ ils sont catapultés par la jonction BC polarisée en inverse : la majorité des electrons ressort par le collecteur, le reste par la base.
- Finalement, on a : $I_C = \beta I_B$, avec $\beta \simeq 200$



Principe du transistor bipolaire NPN (1)

- La jonction PN base-émetteur (BE): une diode
 Fonctionne comme une diode si le collecteur est ouvert (non connecté).
- L'effet transistor :
 - Conditions : BE est polarisée en direct (passante), BC polarisée en inverse ⇔ V_C > V_B > V_E
 - Comme BE est polarisée en direct, un courant d'électrons arrive à la base (B).
 - La base étant de type P, les électrons sont des porteurs minoritaires (vis à vis de P) ⇒ ils sont catapultés par la jonction BC polarisée en inverse : la majorité des electrons ressort par le collecteur, le reste par la base.
- Finalement, on a : $I_C = \beta I_B$, avec $\beta \simeq 200$

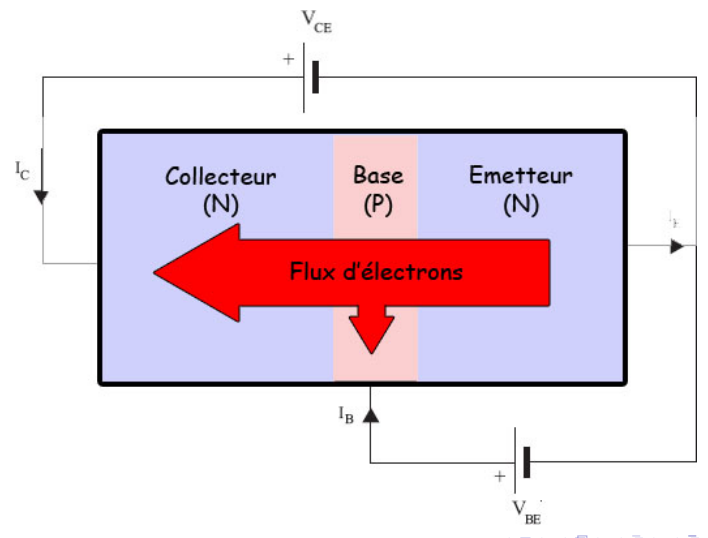


Principe du transistor bipolaire NPN (1)

- La jonction PN base-émetteur (BE): une diode
 Fonctionne comme une diode si le collecteur est ouvert (non connecté).
- L'effet transistor :
 - Conditions : BE est polarisée en direct (passante), BC polarisée en inverse ⇔ V_C > V_B > V_E
 - Comme BE est polarisée en direct, un courant d'électrons arrive à la base (B).
 - La base étant de type P, les électrons sont des porteurs minoritaires (vis à vis de P) ⇒ ils sont catapultés par la jonction BC polarisée en inverse : la majorité des electrons ressort par le collecteur, le reste par la base.
- Finalement, on a : $I_C = \beta I_B$, avec $\beta \simeq 200$



Principe du transistor bipolaire NPN (2)

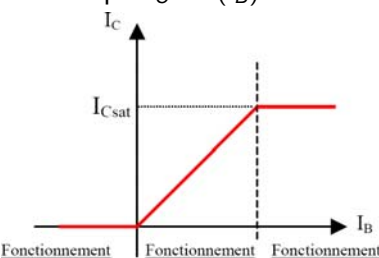


Régimes de fonctionnement du transistor bipolaire

- Régimes de fonctionnement :
 - Si I_B = 0 (V_{BE} ≤ 0): transistor bloqué, rien ne circule (⇒ état logique 0 en électronique numérique).
 - Si $I_B > I_{C_{CC}}/\beta \Rightarrow V_{CE} = 0$: transistor saturé $I_C = I_{C_{CC}}$ (\Rightarrow état logique 1 en électronique numérique).
 - Si $I_B > 0$: transistor en régime linéaire $I_C = \beta I_B$ (effet transistor).
- Le transistor se comporte comme un interrupteur commandé mais dispose également d'un mode source de courant pilotée en courant : caractéristique I_C = f(I_B) :

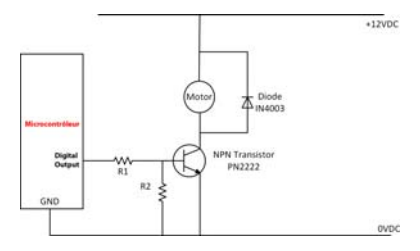
Régimes de fonctionnement du transistor bipolaire

- Régimes de fonctionnement :
 - Si I_B = 0 (V_{BE} ≤ 0): transistor bloqué, rien ne circule (⇒ état logique 0 en électronique numérique).
 - Si $I_B > I_{C_{CC}}/\beta \Rightarrow V_{CE} = 0$: transistor saturé $I_C = I_{C_{CC}}$ (\Rightarrow état logique 1 en électronique numérique).
 - Si $I_B > 0$: transistor en régime linéaire $I_C = \beta I_B$ (effet transistor).
- Le transistor se comporte comme un interrupteur commandé mais dispose également d'un mode source de courant pilotée en courant : caractéristique I_C = f(I_B) :



Transistor bipolaire NPN en régime saturé

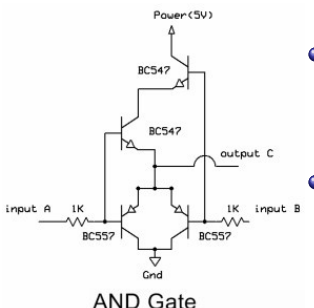
Le **régime saturé** permet de faire fonctionner le transistor bipolaire en commutation. Il est utilisé pour commander des charges ne pouvant être pilotées par la sortie d'un microcontrôleur en raison de leur courant important (lampe ou moteur par exemple).



- Pour que le courant passe dans la charge (collecteur), il faut un courant en provenance du microcontrôleur (base)
- Le courant de base est $\beta \simeq$ 200 fois plus faible que le courant dans la charge !

Transistor bipolaire NPN en régime saturé : utilisation dans des portes logiques

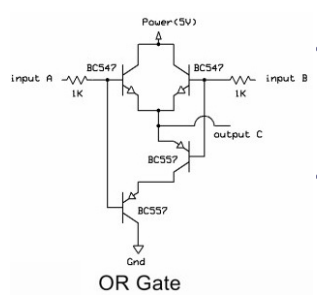
Les transistors bipolaires peuvent être utilisés en portes logiques. Par exemple une porte *ET* :



- Lorsque les deux entrées sont à 1, les deux transistors NPN du dessus sont passants et les deux transistors PNP du bas sont bloqués : la sortie vaut 1.
- Lorsque l'une des entrées est à 0, le transistor NPN correspondant est bloqué et le transistor PNP correspondant est passant : la sortie vaut 0.

Transistor bipolaire NPN en régime saturé : utilisation dans des portes logiques

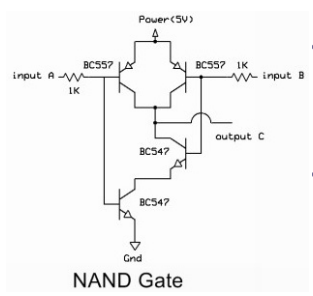
Porte logique OU:



- Lorsque l'une des deux entrées est à 1, le transistor *NPN* correspondant est passant et le transistor *PNP* correspondant est bloqué : la sortie vaut 1.
- Lorsque les deux entrées sont à 0, les deux transistors NPN du dessus sont bloqués et les deux transistors PNP du bas sont passants : la sortie vaut 0.

Transistor bipolaire NPN en régime saturé : utilisation dans des portes logiques

Porte logique NON ET:



- Lorsque les deux entrées sont à 1, les deux transistors NPN du bas sont passants et les deux transistors PNP du haut sont bloqués : la sortie vaut 0.
- Lorsque l'une des entrées est à 0, le transistor NPN correspondant est bloqué et le transistor PNP correspondant est passant : la sortie vaut 1.

Transistor bipolaire NPN en régime linéaire

Le **régime linéaire** permet de faire fonctionner le transistor bipolaire en **amplification**. Il est utilisé (le plus souvent au sein de composants intégrés) pour les fonctions suivantes :

Préamplification :

- Amplification de petits signaux issus de capteurs ou d'antennes radio.
- Amplification différentielle de signaux en environnement bruité (ex. médical).

Amplification de puissance :

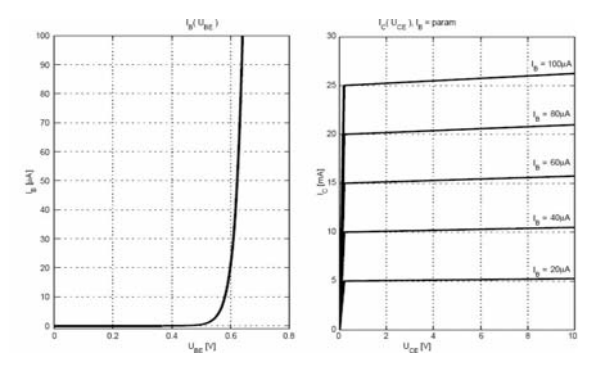
- Ammplification courant-tension : ex. montage classe A (ampli audio)
- Amplification de courant : ex. montage classe AB

Les applications liées à l'amplification seront vues en 2 ^e année, le cours de 1 ^{ere} année étant plus orienté électronique numérique.



Transistor bipolaire NPN en régime linéaire (1)

Le **régime linéaire** est le régime d'amplification du transistor bipolaire. Sa **caractéristique réelle** est la suivante :



- Rq : $I_B = f(V_{BE})$ est la caractéristique d'une diode.
- Rq: I_C n'est pas parfaitement constant en fonction de V_{CE}
 ⇒ effet Early.

Transistor bipolaire NPN en régime linéaire (2)

Caractéristique idéalisée en régime linéaire

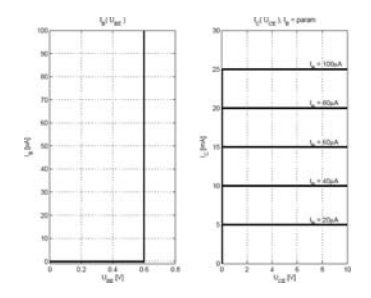


Schéma équivalent en régime linéaire



Etude du transistor bipolaire en régime linéaire

L'étude du transistor bipolaire en régime linéaire se fait en deux étapes :

- Polarisation : Mise en état de fonctionnement en amplification du transistor bipolaire .
- Petits signaux: Calcul des gains en amplification.

Qu'est-ce que la polarisation?

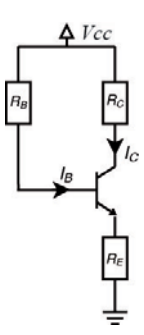
Pour que le transistor fonctionne en régime linéaire, il faut le **mettre en conditions statiques** de fonctionnement linéaire : c'est le **rôle de la polarisation**.

- Condition de fonctionnement du transistor en régime linéaire :
 - $\Rightarrow V_{BE} > 0 \text{ et } V_{CB} > 0.$
- Polarisation = Grandeurs continues et constantes :
 - Capacités de liaison ⇔ circuit ouvert.
 - La polarisation ne permet pas de calculer l'amplification, on utilisera le modèle petits signaux.

Polarisation par une résistance de base :

Méthode de détermination de la polarisation :

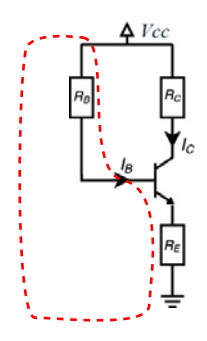
- Détermination de I_B:
- Détermination de I_C et V_{CE} :



Polarisation par une résistance de base :

Méthode de détermination de la polarisation :

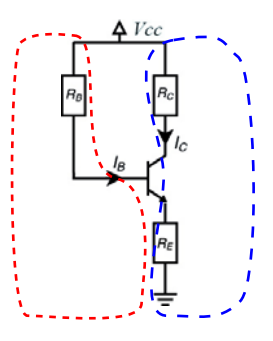
- Détermination de I_B:
 On utilise la maille de commande (en rouge)
- Détermination de I_C et V_{CE} :



Polarisation par une résistance de base :

Méthode de détermination de la polarisation :

- Détermination de I_B:
 On utilise la maille de commande (en rouge)
- Détermination de I_C et V_{CE}:
 On utilise la maille de charge (en bleu)



Polarisation par une résistance de base :

$$V_{cc} = 12V$$
, $\beta = 250$, $R_B = 160K\Omega$, $R_E = 500\Omega$, $R_C = 100\Omega$.

• 1^{ere} étape : détermination de *l*_B

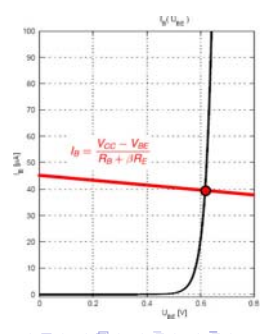
Par le calcul

$V_{CC} = R_B I_B + V_{BE} + R_E (I_B + I_C)$ où $I_C = \beta I_B$ $\Rightarrow I_B = \frac{V_{CC} - V_{BE}}{R_B + \beta R_E}$ On prend un modèle

idéal du transistor : $V_{BF} = 0.6 V$

$$I_B = \frac{V_{CC} - V_{BE}}{R_B + \beta R_E} = 40 \mu A$$

Graphiquement



Polarisation par une résistance de base :

$$V_{cc} = 12V$$
, $\beta = 250$, $R_B = 185K\Omega$, $R_E = 500\Omega$, $R_C = 100\Omega$.

• 2^{eme} étape : détermination de I_C et V_{CF}

Par le calcul

On utilise la valeur de I_B calculée précédemment:

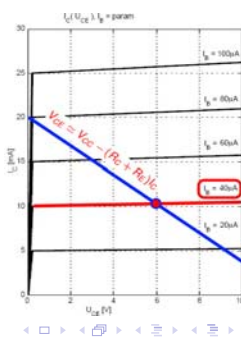
$$I_C = \beta I_B = 10 mA$$

$$V_{CE} = V_{CC} - R_C I_C - R_E (I_B + I_C)$$

$$\Rightarrow V_{CE} \simeq V_{CC} - (R_C + R_E)I_C = 6V$$

⇒ droite de charge statique

Graphiquement

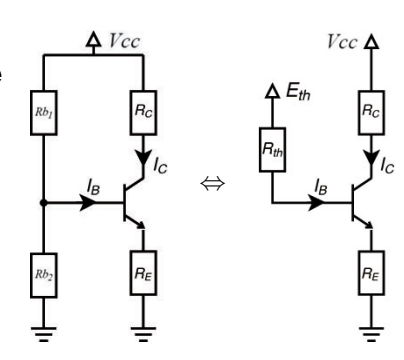


Polarisation par un pont :

On applique le théorème de Thévenin pour se ramener au cas précédent.

$$E_{th} = V_{CC} \frac{R_{b2}}{R_{b2} + R_{b1}}$$

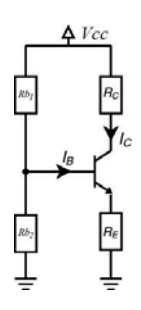
$$R_{th} = R_{b1} \parallel R_{b2}$$



Stabilité de la polarisation d'un transistor bipolaire

Stabilité de la polarisation :

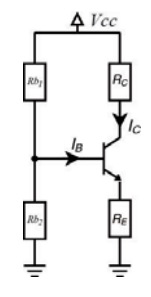
- Propriété nuisible des bipolaires : $\frac{\partial V_{BE}}{\partial T}|_{I_E} < 0$ La tension V_{BE} correspondant à un courant I_E fixé diminue quand la température T augmente.
- R_E contribue à stabiliser le courant I_E :

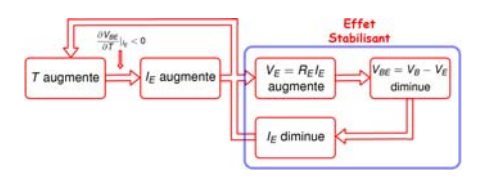


Stabilité de la polarisation d'un transistor bipolaire

Stabilité de la polarisation :

- **Propriété nuisible** des bipolaires : $\frac{\partial V_{BE}}{\partial T}|_{I_E} < 0$ La **tension** V_{BE} correspondant à un courant I_E fixé diminue quand la température T augmente.
- R_F contribue à stabiliser le courant I_F :

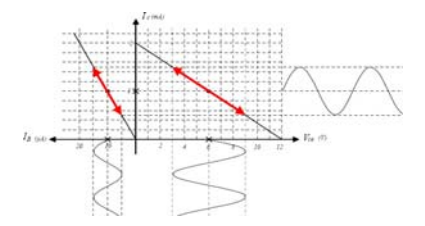






Qu'est-ce qu'un modèle petits signaux?

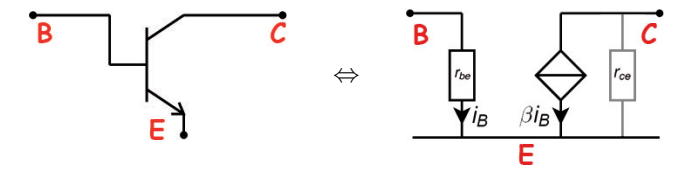
 Le modèle petit signaux correspond à la linéarisation du fonctionnement du transistor autour de son point de polarisation.



- Petit signaux = Grandeurs périodiques et centrées :
 - Capacités de liaison ⇔ Fils.
 - Tension d'alimentation constantes ⇔ Masses.

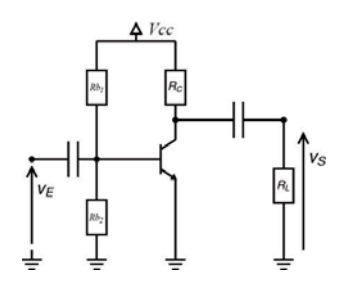


- En amplification, on regarde les effets sur V_{CE} d'une **faible** variation de V_{BE} autour du point de polarisation.
- On utilise pour ce faire le modèle (simplifié) petits signaux du transistor :



- Paramètres du modèle :
 - r_{be} : résistance base-émetteur.
 - r_{ce} : résistance collecteur-émetteur (souvent négligée).
 - β : amplification en courant.
 - Les capacités de jonctions sont négligées en BF.

Application : Déterminer le schéma équivalent petits signaux et le gain en tension dans le circuit suivant :



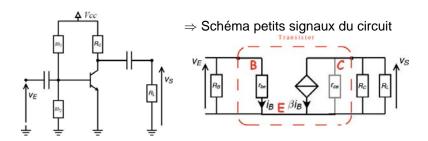
⇒ Schéma petits signaux du circuit

•
$$v_E = r_{be}i_B$$
 et $v_S = -(R_C \parallel R_L)\beta i_B$

• ce qui donne :
$$v_S = -\frac{\beta(R_C \parallel R_L)}{r_{ho}} v_E$$



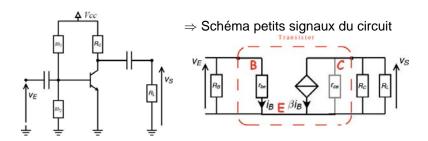
Application : Déterminer le schéma équivalent petits signaux et le gain en tension dans le circuit suivant :



- $v_E = r_{be}i_B$ et $v_S = -(R_C \parallel R_L)\beta i_B$
- ce qui donne : $v_S = -\frac{\beta(R_C \parallel R_L)}{r_{ho}} v_E$



Application : Déterminer le schéma équivalent petits signaux et le gain en tension dans le circuit suivant :

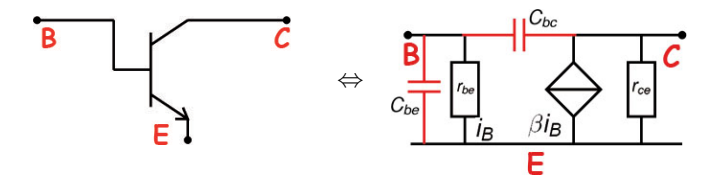


•
$$v_E = r_{be}i_B$$
 et $v_S = -(R_C \parallel R_L)\beta i_B$

• ce qui donne :
$$v_S = -\frac{\beta(R_C \parallel R_L)}{r_{be}} v_E$$



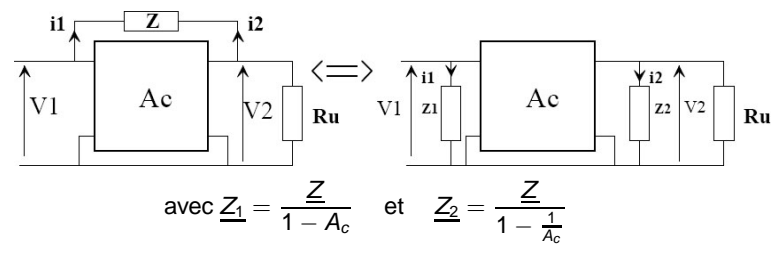
 En hautes fréquences (f₀ > 1MHz), on ne peut plus négliger les capacités dues aux ZCE ⇒ on utilise pour ce faire le modèle de Giacoletto du transistor bipolaire :



- Spécificités du modèle de Giacoletto :
 - Rajout de deux condensateurs de jonction C_{bc} et C_{be} .
 - Inconvénient : l'entrée et la sortie ne sont plus découplées ⇒ calculs compliqués.

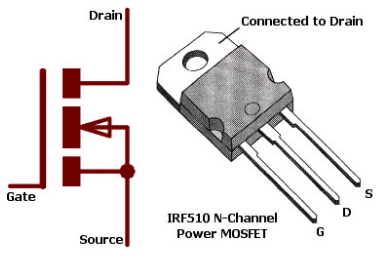


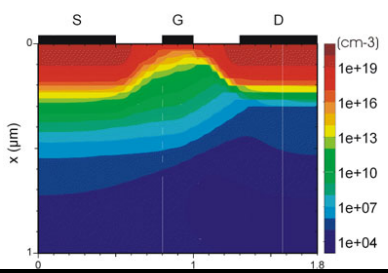
 Pour simplifier (en découplant) les calculs, on utilise le théorème de Miller :



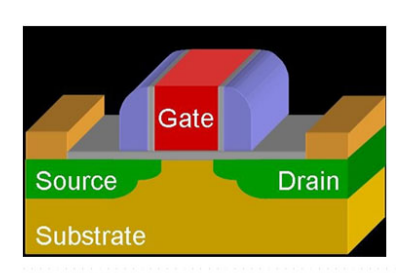
Application au transistor bipolaire : voir TD

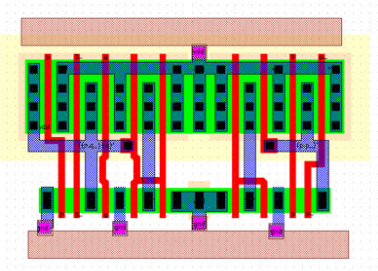
Les transistors MOSFET





Valentin Gies







Les transistors MOSFET

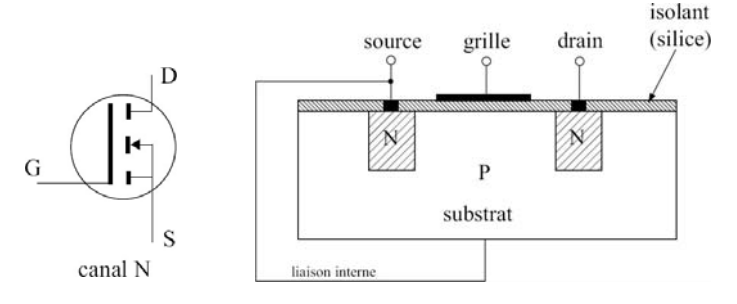
- Inconvénients des transistors bipolaires :
 - Courant de base non nul ⇒ consommation non nulle très problématique dans les portes logiques.
 - Risque d'emballement thermique (si $R_E = 0$) : $\frac{dV_{BE}}{dt} < 0$
 - Pilotage en courant (pas en tension)
- On souhaite un autre type de transistor :
 - A consommation d'énergie très réduite en commutation.
 - Pilotable en tension.
 - Sans risque d'emballement thermique (facteur secondaire...)
- ⇒ II existe : le transistor MOSFET



Principe du transistor MOSFET (1)

Dans ce cours, on s'intéressera au NMOS uniquement, le PMOS étant identique par permutation des zones P et N.

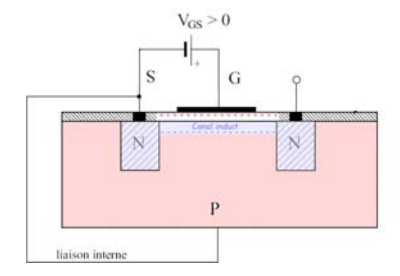
NMOS:



 Au repos, il n'y a pas de mouvement possible des électrons de D vers S.

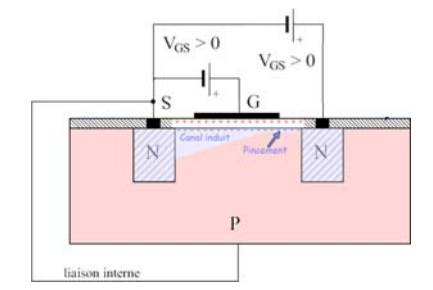
Principe du transistor MOSFET (2)

- Lorsque V_{GS} > 0, on charge un condensateur constitué par la grille et le substrat P.
- Si la tension est assez grande (V_{GS} > V_T), la densité d'électrons dans P due à V_{GS} est supérieure à celle des trous due au dopage P : ⇒ il y a création d'un canal d'électrons reliant le drain D à la source S.



Principe du transistor MOSFET (3)

- Plus V_{GS} est grande ⇒ canal plus large ⇒ résistance plus faible
 ⇒ résistance dépendant de la tension V_{GS}.
- Pour créer un courant entre D et S, il faut appliquer une tension V_{DS} :
 - Crée un mouvement d'électrons
 - Si $V_{DS} > V_T |V_{GS}| \Rightarrow \text{pince le canal} \Rightarrow \textbf{Courant } I_D = cte$



Régimes de fonctionnement du transistor MOSFET

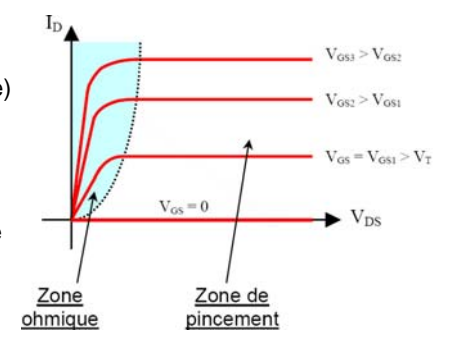
- Transistor bloqué
 ⇒ Interrupteur ouvert :
 V_{GS} < V_T ⇒ I_D = 0
- Régime linéaire (zone ohmique)
 ⇒ Interrupteur fermé avec
 résistance en série

$$V_{\rm GS} > V_{\rm T}$$
 et $V_{\rm DS} < V_{\rm T} + rac{I_{\rm D}}{g_{\rm m}}$

Transistor saturé ⇒ Source de courant pilotée en tension :

$$V_{\rm GS} > V_T$$
 et $V_{\rm DS} > V_T + \frac{I_D}{g_m}$

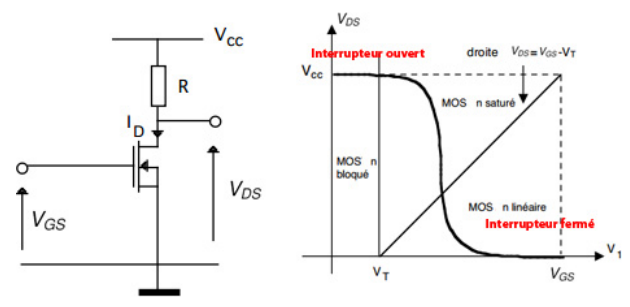
$$I_D = k \left(V_{GS} - V_T \right)^2$$



Transistor MOS en régime saturé

En passant de $V_{GS} < V_{TH}$ à $V_{GS} > V_{TH}$ avec V_{DS} suffisamment grand, le MOSFET N se comporte comme un interrupteur en série avec une résistance faible. En particulier si l'on travaille en binaire :

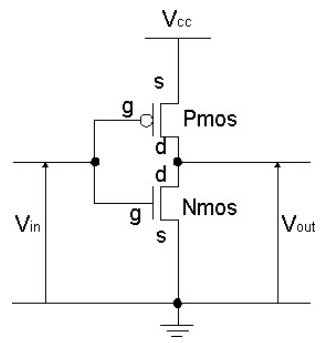
- Etat logique 0 : $V_{GS} = 0 \Rightarrow V_{DS} = V_{CC}$.
- Etat logique 1 : $V_{GS} = V_{CC} \Rightarrow V_{DS} = 0$



Attention toutefois, l'état logique 1 ($V_{DS} = V_{CC}$) est faible à cause de R.

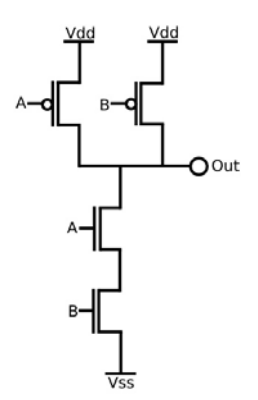
L'inverseur CMOS

- Un NMOS permet de mettre une sortie à 0 efficacement.
- Un PMOS permet de mettre une sortie à 1 efficacement.
- En couplant les deux on obtient une structure capable de mettre efficacement une sortie à 0 ou à 1 : il s'agit de l'inverseur CMOS (Complementary Metal Oxide Semiconductor).



Les portes logiques en technologie CMOS

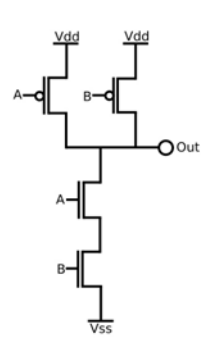
Porte logique NON ET:

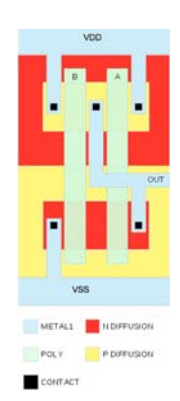


- Lorsque les deux entrées sont à 1, les deux transistors NMOS du bas sont passants et les deux transistors PMOS du haut sont bloqués : la sortie vaut 0.
- Lorsque l'une des entrées est à 0, le transistor NMOS correspondant est bloqué et le transistor PMOS correspondant est passant : la sortie vaut 1.

Les portes logiques en technologie CMOS

L'implantation des portes CMOS est très compacte :



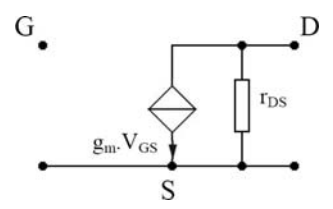


On peut réaliser efficacement des circuits avec des millions de transistors.



Le transistor MOSFET en amplification : modèle petits signaux (BF)

- En amplification, le MOS est utilisé en source de courant pilotée en tension (transistor saturé).
- On a le modèle petits signaux basse fréquence suivant :



Remarques :

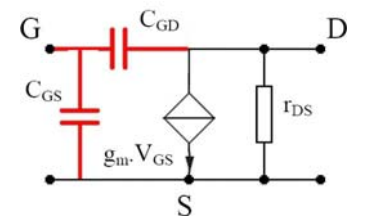
- L'impédance d'entrée est infinie

 utile pour l'adaptation d'impédance.
- Consommation très faible en commutation.
- Le plus souvent, on prendra $r_{DS} \simeq \infty \Rightarrow$ négligée.
- g_m est appelée transconductance.



Le transistor MOSFET en amplification : modèle petits signaux (BF)

 En Hautes fréquences, on rajoute au modèle précédent des capacités parasites. ⇒ On obtient le modèle petits signaux haute fréquence suivant :



- Remarques :
 - Les capacités rajoutées induisent un couplage entre l'entrée et la sortie.
 - On peut utiliser le théorème de Miller pour découpler le circuit.

Avantages et inconvénients des MOSFET

Avantages:

- Impédance d'entrée forte : permet de piloter plusieurs transistors à l'aide d'un seul porte logiques.
- Courant consommé au repos $\simeq 0$.
- Puissance dissipée proportionnelle à la fréquence d'horloge.
- Design compact ⇒ intégrable à très grande échelle (VLSI : Very large scale integration).

Inconvénients:

 Très fragile face à l'électricité statique ou aux erreurs de branchement.



Questions?

- Questions
- Contact : vgies@hotmail.com